

SKRIPSI

ANALISIS PREDIKSI WAKTU KONSOLIDASI DENGAN METODE
ASAOKA PADA PEMBANGUNAN MAKASSAR NEW PORT



PROGRAM STUDI TEKNIK PENGAIRAN

FAKULTAS TEKNIK

UNIVERSITAS MUHAMMADIYAH MAKASSAR

2021

**ANALISIS PREDIKSI WAKTU KONSOLIDASI DENGAN METODE
ASAOKA PADA PEMBANGUNAN MAKASSAR NEW PORT**





UNIVERSITAS MUHAMMADIYAH MAKASSAR

FAKULTAS TEKNIK

GEDUNG MENARA IQRA LT. 3

Jl. Sultan Alauddin No. 259 Telp. (0411) 866 972 Fax (0411) 865 588 Makassar 90221

Website : www.unismuh.ac.id, e-mail : unismuh@gmail.com

Website : <http://teknik.unismuh.makassar.ac.id>

بِسْمِ اللَّهِ الرَّحْمَنِ الرَّحِيمِ

PENGESAHAN

Skripsi atas nama Mega Utami Herman dengan nomor induk Mahasiswa 105 81 11205 17 dan Munirul Islami, S dengan nomor induk mahasiswa 105 81 11227 17, dinyatakan diterima dan disahkan oleh Panitia Ujian Tugas Akhir/Skripsi sesuai dengan Surat Keputusan Dekan Fakultas Teknik Universitas Muhammadiyah Makassar Nomor : 0014/SK-Y/22201/091004/2021, sebagai salah satu syarat guna memperoleh gelar Sarjana Teknik pada Program Studi Teknik Pengairan Jurusan Teknik Sipil Fakultas Teknik Universitas Muhammadiyah Makassar pada hari Sabtu tanggal 30 Oktober 2021.

23 Rabiul Awal 1443 H

30 Oktober 2021 M

Panitia Ujian:

1. Pengawas Umum

a. Rektor Universitas Muhammadiyah Makassar

Prof. Dr. H. Ambo Asse, M.Ag

b. Dekan Fakultas Teknik Universitas Hasanuddin

Prof. Dr. Ir. H. Muhammad Arsyad Thaha, MT

2. Pengujii:

a. Ketua : Dr. Ir. H. Abd. Rakhim Nanda, ST., MT., IPM

b. Sekertaris : Kasmawati, ST., MT

3. Anggota: 1. Dr. Eng Ir. H. Farouk Marican, MT

2. Dr. Ir. Muh. Yunus Ali, ST., MT., IPM

3. Muh. Syafaat S Kuba, ST., MT

Mengetahui:

Pembimbing I



Pembimbing II

Ir. Fatriady, ST., MT., IPM

Dekan Fakultas Teknik



Dr. Ir. Hj. Nurhawaty, ST., MT., IPM
NBM: 795 108

UNIVERSITAS MUHAMMADIYAH MAKASSAR



PROGRAM STUDI TEKNIK PENGAIRAN

FAKULTAS TEKNIK

GEDUNG MENARA IQRA LT. 3

Jl. Sultan Alauddin No. 259 Telp. (0411) 866 972 Fax (0411) 865 588 Makassar 90221

Website : www.unismuh.ac.id, e-mail : unismuh@gmail.com

Website : <http://teknik.unismuh.makassar.ac.id>

بِسْمِ اللَّهِ الرَّحْمَنِ الرَّحِيمِ

HALAMAN PERSETUJUAN

Tugas akhir ini di ajukan untuk memenuhi syarat ujian skripsi guna memperoleh gelar Sarjana Teknik (ST) Program Studi Teknik Pengairan Jurusan Teknik Sipil Fakultas Teknik Universitas Muhammadiyah Makassar.

Judul Skripsi : **ANALISIS PREDIKSI WAKTU KONSOLIDASI DENGAN METODE ASAOKA PADA PEMBANGUNAN MAKASSAR NEW PORT**

Nama

: 1. MEGA UTAMI HERMAN

2. MUNIRUL ISLAMI S

Stb

: 1. 105 81 11205 17

2. 105 81 11227 17

Makassar,

Oktober 2021

Telah Diperiksa dan Disetujui

Oleh Dosen Pembimbing

Telah Diperiksa dan disetujui

Dosen Pembimbing I

Dosen Pembimbing II

Dr. Ir. Nenny T Karim, ST., MT., IPM

Ir. Fatriady, ST., MT., IPM

Mengetahui,

Ketua Program Studi Teknik Pengairan



[Signature]

Andi Makbul Syamsuri, ST., MT., IPM

NBM. 1183 084

Abstrak

Konsolidasi merupakan proses yang terjadi akibat berkurangnya volume atau berkurangnya rongga pori dari tanah jenuh yang berpermeabilitas rendah akibat beban statis yang bekerja dalam periode tertentu, dimana prosesnya dipengaruhi oleh kecepatan. Tujuan penelitian ini adalah menganalisis waktu yang dibutuhkan terjadinya konsolidasi dengan metode Asaoka pada pembacaan penurunan tanah aplikasi geoteknik *settlement plate* dan menganalisis pengaruh waktu penggunaan PVD terhadap terjadinya konsolidasi pada pembangunan Makassar New Port. Metode penelitian yang digunakan adalah metode deskriptif analitik yaitu metode yang mendeskripsikan atau memberikan gambaran terhadap objek yang diteliti melalui data atau sampel yang terkumpul sebagaimana adanya. Dari hasil penelitian, besarnya waktu yang dibutuhkan terjadinya konsolidasi dengan menggunakan metode Asaoka pada pembacaan penurunan tanah aplikasi geoteknik *settlement plate* pembangunan Makassar New Port adalah sebesar 823 hari. Waktu yang dibutuhkan untuk mencapai derajat konsolidasi dengan menggunakan PVD lebih sedikit yaitu 823, tanpa menggunakan PVD membutuhkan waktu 1112 hari. Dan penelitian ini, dapat disimpulkan penggunaan PVD berpengaruh terhadap waktu untuk mencapai konsolidasi.

Kata Kunci: Konsolidasi, *Prefabricated Vertical Drain*

Abstract

Consolidation is a process that occurs due to reduced volume or reduced pore voids of low-permeability saturated soil due to static loads that work within a certain period, where the process is influenced by speed. Geotechnical settlement plate and analyze the effect of time using PVD on the occurrence of consolidation in the construction of Makassar New Port. The research method used is descriptive analytical method, which is a method that describes or provides an overview of the object under study through data or collected samples as they are. From the results of the study, the amount of time required for consolidation using the Asaoka method on the reading of soil subsidence in the geotechnical application of settlement plate for the Makassar New Port construction is 823 days. The time needed to achieve the degree of consolidation by using PVD is less than 823, without using PVD it takes 1112 days. From this study, it can be concluded that the use of PVD affects the time to reach consolidation

Keywords: Consolidation, *Prefabricated Vertical Drain*

KATA PENGANTAR



Syukur Alhamdulillah penulis panjatkan kehadiran Allah SWT, karena rahmat dan hidayah-Nyalah sehingga dapat menyusun hasil dari tugas akhir ini, dan dapat kami selesaikan dengan baik.

Tugas akhir ini disusun sebagai salah satu persyaratan akademik yang harus ditempuh dalam rangka menyelesaikan program studi pada Jurusan Sipil Pengairan Fakultas Teknik Universitas Muhammadiyah Makassar. Adapun judul tugas akhir kami adalah “**Analisis Prediksi Waktu Konsolidasi dengan Metode Asaoka Pada Pembangunan Makassar New Port**”. Penulis menyadari sepenuhnya bahwa didalam penulisan tugas akhir ini masih terdapat kekurangan – kekurangan, hal ini disebabkan karena penulis sebagai manusia biasa tidak lepas dari kesalahan dan kekurangan baik itu diujau dari segi teknis penulisan maupun dari perhitungan – perhitungan. Oleh karena itu, penulis menerima dengan sangat ikhlas dengan senang hati segala koreksi serta perbaikan guna penyempurnaan tulisan ini agar kelak dapat bermanfaat.

Tugas akhir ini dapat terwujud berkat adanya bantuan, arahan dan bimbingan dari berbagai pihak. Oleh karena itu, dengan segala ketulusan dan kerendahan hari, kami mengucapkan terimakasih dan penghargaan yang setinggi – tingginya kepada:

1. Bapak Prof. Dr. H. Ambo Asse, M.ag sebagai Rektor Universitas Muhammadiyah Makassar.
2. Ibu Dr. Ir. Hj. Nurnawaty, S.T., M.T. sebagai Dekan Fakultas Teknik Universitas Muhammadiyah Makassar.

3. Bapak Ir. Andi Makbul Syamsul, S.T., M.T., IPM sebagai Ketua Prodi Teknik Pengairan Fakultas Teknik Universitas Muhammadiyah Makassar.
4. Ibu Dr. Ir. Nenny T Karim, ST.,MT., IPM selaku Pembimbing I dan Bapak Ir. Fatriady ST., MT., IPM selaku Pembimbing II, yang banyak meluangkan waktu dalam membimbing penulis.
5. Bapak dan Ibu dosen serta para staf pegawai di Fakultas Teknik atas segala waktunya telah mendidik dan melayani penulis selama mengikuti proses belajar mengajar di Universitas Muhammadiyah Makassar.
6. Ayahanda dan Ibunda yang tercinta, penulis mengucapkan terima kasih yang sebesar – besarnya atas segala limpahan kasih sayang, do'a serta pengorbanannya terutama dalam bentuk materi untuk menyelesaikan kuliah kami dan rekan-rekan mahasiswa Fakultas Teknik terkhusus angkatan AKURASI 2017.

Semoga semua pihak tersebut di atas mendapat pahala yang berlipat ganda di sisi Allah SWT dan hasil dari tugas akhir yang sederhana ini dapat bermanfaat bagi penulis, rekan – rekan, masyarakat serta bangsa dan Negara. Amin.

"Billahi Fli Sabill Haq Fastabiqul Khaerat".

Makassar, 29 Juni 2021

Penulis

DAFTAR ISI

SAMPUL.....	i
HALAMAN JUDUL	ii
LEMBAR PENGESAHAN	iii
HALAMAN PERSETUJUAN	iv
ABSTRAK	v
KATA PENGANTAR	vi
DAFTAR ISI	viii
DAFTAR PERSAMAAN	xii
DAFTAR GAMBAR	xiii
DAFTAR GRAFIK	xiv
DAFTAR TABEL	xv
DAFTAR NOTASI	xvi
BAB I PENDAHULUAN	
A. Latar Belakang	1
B. Rumusan Masalah	4
C. Tujuan Penitian	4
D. Manfaat Penitian	4
E. Batasan Masalah	5
F. Sistematika Penulisan	5
BAB II TINJAUAN PUSTAKA	
A. Pengertian Tanah	7

B.	Klasifikasi Tanah	8
C.	Penurunan Tanah	8
D.	Konsolidasi Tanah	10
E.	Instrument Geoteknik Settlement plate	12
F.	Metode Observasi Asoka untuk Memprediksi Penurunan Tanah	13
a.	Persamaan Umum Terhadap Waktu Pada Prosedur Observasi Asaoka	14
b.	Metode Grafis Prediksi Penurunan Tanah	15
c.	Koreksi Nilai Koefisien Konsolidasi	17
G.	Teori Preloadan	18
H.	Teori Perencanaan Drainasi Vertikal (Vertical Drain)	20
a.	Faktor-Faktor yang Mempengaruhi Pekerjaan Vertical Drain	24
b.	Diameter Ekuivalen Vertical Drain	24
c.	Zona Pengaruh pada PVD (Prefabricated Vertical Drain)	25
I.	Matriks Penelitian Terdahulu	28
BAB III METODE PENELITIAN		
A.	Tempat dan Waktu Penelitian	29
B.	Sumber Data	29
C.	Alat Yang Digunakan	30
D.	Analisa Data	30
E.	Bagan Alir Penelitian	37
BAB IV HASIL DAN PEMBAHASAN		
A.	Data Settlement Plate	38

B. Analisis Prediksi Penurunan Final (<i>Settlement Final/Sf</i>) dengan Metode Asaoka	39
C. Analisis Koefisien Konsolidasi Vertikal (Cv) dan Koefisien Konsolidasi Horizontal (Ch).....	42
D. Analisis Sisa <i>Settlement</i> di Lapangan	44
E. Analisis Derajat Konsolidasi Aktual	45
F. Analisis Waktu Penurunan Konsolidasi Tanpa Menggunakan PVD dan Menggunakan PVD	46

BAB V PENUTUP

A. Kesimpulan	52
B. Saran	52

DAFTAR PUSTAKA

LAMPIRAN



DAFTAR PERSAMAAN

Nomor		Halaman
Persamaan 1	Derajat Konsolidasi	13
Persamaan 2	Regangan Vertikal	14
Persamaan 3	Menentukan Nilai Penurunan pada Interval Waktu Ke-j	15
Persamaan 4	Kemiringan Garis ρ_n vs ρ_{n-1}	16
Persamaan 5	Koefisien Konsolidasi Arah Vertikal (C_v)	17
Persamaan 6	Koefisien Konsolidasi Arah Radial/Horizontal (C_h)	17
Persamaan 7	Diameter Pengaruh PVD (untuk Pola Bujur Sangkar)	24
Persamaan 8	Diameter Pengaruh PVD (untuk Pola Segitiga)	24
Persamaan 9	Faktor Waktu Vertikal (T_v)	26
Persamaan 10	Derajat Konsolidasi Vertikal (U_v) untuk U_v antara 0% - 60%	26
Persamaan 11	Derajat Konsolidasi Vertikal (U_v) untuk U_v antara 60% - 100%	26
Persamaan 12	Faktor Waktu Horizontal (T_h)	27
Persamaan 13	Faktor n	27
Persamaan 14	Faktor Hambatan disebabkan Jarak Antara PVD	27
Persamaan 15	Derajat Konsolidasi Horizontal (U_h)	27
Persamaan 16	Derajat Konsolidasi (U)	27
Persamaan 17	Besar Penurunan (Sc)	28

DAFTAR GAMBAR

Nomor		Halaman
Gambar 1	Hubungan waktu vs penurunan selama konsolidasi untuk suatu penambahan beban yang diberikan	11
Gambar 2	Prosedur analisa data monitoring penurunan dengan interval waktu yang konstan	16
Gambar 3	Prediksi penurunan akhir dengan metode Asaoka	16
Gambar 4	Konsep mempercepat penurunan dengan cara prapembebahan	18
Gambar 5	Aliran Air Pori pada PVD	21
Gambar 6	PVD	21
Gambar 7	Struktur drainasi pasir vertikal	23
Gambar 8	Struktur drainasi pasir vertikal dengan lapisan dasar berupa lapisan lolos air	23
Gambar 9	Bentuk konfigurasi pemasangan <i>vertical drains</i>	24
Gambar 10	Lokasi Proyek	29
Gambar 11	Bagan Alur Penelitian	37

DAFTAR GRAFIK

Nomor		Halaman
Grafik 1	Perbandingan besar penurunan vs waktu penurunan SP-09, SP-58, SP-70	39
Grafik 2	Grafik Asaoka SP-09	40
Grafik 3	Grafik Asaoka SP-58	40
Grafik 4	Grafik Asaoka SP-70	41



DAFTAR TABEL

Nomor		Halaman
Tabel 1	Karakteristik dari berbagai jenis PVD.....	25
Tabel 2	Rekap data SP-09, SP-58, SP-70 dengan interval 10 hari	38
Tabel 3	Hasil perhitungan prediksi penurunan final metode Asaoka.....	42
Tabel 4	Hasil perhitungan koefisien konsolidasi vertikal (C_v) dan koefisien konsolidasi horizontal (C_h).....	44
Tabel 5	Sisa settlement.....	45
Tabel 6	Rekap nilai settlement final dan derajat konsolidasi (U) aktual	46
Tabel 7	Perhitungan waktu penurunan konsolidasi SP-09.....	49
Tabel 8	Perhitungan waktu penurunan konsolidasi SP-58	50
Tabel 9	Perhitungan waktu penurunan konsolidasi SP-70	50

DAFTAR NOTASI

Δt	Selang waktu dalam pengamatan penurunan
β_0	Waktu titik plot pertama dari regresi linear ρ_n vs ρ_{n-1}
β_1	Kemiringan dari garis ρ_n vs ρ_{n-1}
Ch	Koefisien konsolidasi arah radial/ horizontal koreksi
Cv	Koefisien konsolidasi arah vertikal
de	Diameter jangkauan kerja PVD
d _w	Diameter daerah pengaruh (ekuivalen) PVD
e(t,z)	Regangan vertical (regangan volum)
F _n	Fungsi n terhadap waktu akibat PVD
H	Tebal lapisan tanah yang terkonsolidasi
Hdr	Jarak air pori
ρ_f	Penurunan final
ρ_j	Besarnya penurunan tanah pada waktu t
PVD	<i>Prefabricated vertical drain</i>
R	Jari-jari PVD
S	Jarak antar PVD
S _c	Penurunan total
S _t	Penurunan konsolidasi dari bacaan <i>settlement plate</i> pada waktu t
Th	Faktor waktu Horizontal
Tv	Faktor waktu vertikal
t	Waktu konsolidasi
t(≥ 0)	Kedalaman dari bagian atas lapisan tanah

- U Derajat Konsolidasi
- Uh Derajat konsolidasi
- Uv Derajat konsolidasi arah vertikal



BAB I

PENDAHULUAN

A. Latar Belakang

Dalam rangka mendukung kelancaran aktivitas ekonomi masyarakat Indonesia, pemerintah merencanakan berbagai program pembangunan infrastruktur. Mulai dari pembangunan jalan raya, jalan tol, jembatan, bandar udara, kanal, dermaga, pelabuhan dan lain sebagainya. Dimana guna pembangunan infranstruktur ini adalah meningkatkan koneksi dan mengurangi kesenjangan pertumbuhan antar wilayah. Infrastruktur merupakan roda penggerak pertumbuhan ekonomi.

Kota Makassar adalah kota yang terletak dekat yang membatang dari koridor barat dan utara. Makassar merupakan kota metropolitan yang sedang giat-giatnya membangun, hal ini dilihat dari adanya pembangunan dimana-mana. Salah satu pembangunan yang sedang dilaksanakan adalah pembangunan pelabuhan Makassar New Port.

Pelabuhan merupakan bagian dari daratan dan perairan disekitarnya yang berfungsi untuk tempat kapal bersandar dan bongkar muatan barang, berupa terminal yang difasilitasi dengan alat keamanan pelayaran dan fasilitas pelabuhan lain serta sebagai tempat pindahnya intra dan antra moda transportasi. Pelabuhan juga merupakan salah satu hasil pekerjaan dari reklamasi pantai.

Kegiatan reklamasi pantai akhir-akhir ini sering terjadi karena merupakan alternatif pilihan yang banyak dipilih untuk memperluas lahan dalam upaya menampung kegiatan pembangunan. Reklamasi merupakan upaya menambah luas

lahan dengan bentang pantai dan jarak tertentu kearah perairan sesuai kebutuhan yang diinginkan. Daerah reklamasi dipengaruhi ukuran panjang, lebar, dan dalam perairan yang direklamasi menurut posisi wilayah. Reklamasi dilakukan agar suatu wilayah bisa memiliki hasil guna. Reklamasi pantai biasanya dilakukan untuk membangun suatu pelabuhan.

Pekerjaan reklamasi harus dilakukan dengan desain dan metode konstruksi yang baik sehingga hasilnya bisa dipertanggung jawabkan secara praktis, ekonomis, dan tanpa menimbulkan dampak negatif terhadap kelestarian lingkungan hidup. pemilihan peralatan dan material yang tepat sangat diperlukan untuk menunjang metode konstruksi yang cocok.

Untuk mendapatkan hasil desain yang memuaskan perlu dilakukan investigasi pada areal yang akan direklamasi yang mencakup kondisi tanah dasar, tinggi gelombang air laut, ketersediaan material reklamasi dan lain sebagainya. Melalui proses investigasi yang terjadi, sehingga dapat dilakukan analisis secara detail untuk mendapatkan metode konstruksi yang sesuai dan tepat guna.

Dalam proses reklamasi sering dijumpai beberapa masalah yang terjadi baik saat pelaksanaan reklamasi maupun untuk kondisi jangka panjang. Salah satu permasalahan yang terjadi adalah penurunan tanah yang besar serta dibutuhkannya waktu yang cukup panjang untuk mencapai konsolidasi pada lapis tanah karena pada permukaan yang lunak memiliki kerapatan rongga yang rendah. Konsolidasi merupakan proses yang terjadi akibat berkurangnya volume atau berkurangnya rongga pori dari tanah jenah yang berpermeabilitas rendah akibat beban statis yang bekerja dalam periode tertentu, dimana prosesnya dipengaruhi oleh kecepatan

Salah satu metode yang pada umumnya digunakan untuk mengatasi masalah pada penurunan tanah adalah pembebanan awal (preloading) yaitu, metode perbaikan tanah dengan cara memberikan tambahan beban pada lokasi dimana akan dibangun konstruksi permanen hingga proses konsolidasi yang diinginkan tercapai. Ketika proses konsolidasi berlangsung kekuatan tanah geser pun turut meningkat sehingga dapat memungkinkan penambahan beban (craig, 2004). Metode preloading ini dapat dipadukan dengan metode PVD (prefabricated Vertical Drain). PVD (Prefabricated Vertical Drain) merupakan metode untuk memperbaiki karakteristik tanah. Pada proses perbaikan tanah juga dilakukan pemasangan alat Settlement Plate yang berfungsi untuk mengukur terjadinya penurunan tanah dalam waktu tertentu.

Untuk memprediksi besar penurunan serta lama waktu konsolidasi umumnya digunakan teori metode Asaoka (1978). Metode Asaoka adalah metode perhitungan grafis dan hasilnya untuk menentukan settlement final yang terjadi pada lokasi yang dianalisa. Melalui prosedur ini besarnya penurunan tanah aktual dapat diprediksi tanpa membutuhkan parameter-parameter yang digunakan pada analisis konsolidasi, seperti data tekanan air pori, regangan maksimum tanah, panjang drainase. Sedangkan untuk memprediksi waktu untuk mencapainya konsolidasi digunakan persamaan Barron (1948).

Berdasarkan permasalahan diatas maka kami mengambil judul “Analisis Prediksi Waktu Konsolidasi dengan Metode Asaoka Pada Pembangunan Makassar New Port”. Penelitian ini dilakukan dengan mengambil data-data dilapangan.

B. Rumusan Masalah

Berdasarkan latar belakang masalah diatas maka rumusan masalah pada penelitian ini adalah:

1. Berapa hari yang dibutuhkan untuk terjadinya konsolidasi dengan menggunakan metode Asaoka pada pembacaan penurunan tanah aplikasi geoteknik *settlement plate* pembangunan Makassar New port?
2. Bagaimana pengaruh penggunaan PVD terhadap waktu terjadinya konsolidasi pada pembangunan Makassar New Port?

C. Tujuan Penelitian

Terkait dengan masalah yang diuraikan diatas, tujuan penelitian yang akan dicapai adalah sebagai berikut:

1. Menganalisis waktu (hari) yang untuk dibutuhkan terjadinya konsolidasi dengan metode Asaoka pada pembacaan penurunan tanah aplikasi geoteknik *settlement plate* pembangunan Makassar New Port.
2. Menganalisis pengaruh penggunaan PVD terhadap terjadinya konsolidasi pada pembangunan Makassar New Port.

D. Manfaat Penelitian

Berdasarkan tujuan diatas maka manfaat yang diperoleh dari penelitian ini, sebagai berikut:

1. Memberikan pemahaman tentang metode Asaoka pada pembacaan penurunan tanah aplikasi geoteknik *settlement plate* pembangunan Makassar New Port.
2. Memberikan pemahaman tentang pengaruh PVD terhadap terjadinya konsolidasi pada pembangunan Makassar New Port.

E. Batasan Masalah

Dalam penelitian ini akan dibatasi permasalahan yaitu:

1. Pengambilan data dilakukan dengan instrument geoteknik *settlement plate* pada pembangunan Makassar New Port.
2. Lapis tanah reklamasi berupa pasir laut seperti pada pembangunan Makassar New Port.
3. Elevasi reklamasi dan preload sesuai pada pembangunan Makassar New Port.
4. Tidak memperhitungkan pengaruh lingkungan spesifik secara teknis.

F. Sistematika Penulisan

Sistematika penulisan disusun agar terarah pada tujuan penelitian yang akan dicapai. Sistematika penulisan yang dituliskan dalam penelitian ini adalah sebagai berikut:

Bab I PENDAHULUAN: Dalam bab ini menguraikan tentang latar belakang masalah, rumusan masalah, tujuan penelitian, manfaat penelitian, batasan masalah, dan sistematika penulisan.

Bab II TINJAUAN PUSTAKA: Menguraikan tentang teori umum dan teori khusus yang digunakan dalam melakukan penelitian.

Bab III METODE PENELITIAN: Menguraikan tentang lokasi, dan waktu dan tempat penelitian, sumber data, tahapan penelitian, analisis data, dan bagan alur penelitian.

Bab IV HASIL DAN PEMBAHASAN: Merupakan bab yang menguraikan tentang analisa data dan pembahasan besar penurunan tanah yang terjadi pada pembangunan Makassar Newport.

Bab V PENUTUP: Merupakan bab yang berisi kesimpulan dan saran terhadap permasalahan dan tujuan yang telah dibahas pada bab sebelumnya. Sehingga, untuk penelitian selanjutnya terdapat perkembangan, dan tentunya diharapkan penelitian ini dapat bermanfaat untuk ilmu aplikasi rekayasa khususnya bangunan air dan dapat dijadikan acuan untuk penelitian selanjutnya.



BAB II

TINJAUAN PUSTAKA

A. Pengertian Tanah

Tanah merupakan himpunan mineral, bahan organik, dan endapan-endapan yang relatif lepas (*loose*) yang terletak di atas batu dasar (*bedrock*) (Hardiyatmo, H. C., 1997). Tanah merupakan material yang terdiri dari agregat (butiran) padat yang tersementasi satu dengan lain dari bahan-bahan organik yang telah melapuk disertai dengan zat cair dan gas yang mengisi ruang-ruang kosong diantara partikel-partikel tersebut (Braja M Das, 1988).

Tanah juga merupakan salah satu komponen penting untuk menopang struktur konstruksi, mengingat hampir semua bangunan dibuat diatas atau di bawah permukaan tanah. Istilah tanah dalam ilmu Mekanika Tanah mencakup semua bahan, dari tanah lempung (*clay*) sampai berangkal (batu-batu yang besar), jadi menurut ilmu mekanika tanah, tanah bisa dianggap sebagai semua endapan alam yang bersangkutan dengan teknik sipil, kecuali batuan tetap, mutu serta pengukuran dan pembayaran untuk penyelesaikan.

Meningkatnya pembangunan, secara tidak langsung berpengaruh terhadap berkurangnya lahan tempat bangunan dilaksanakan. Tidak tertutup kemungkinan bangunan tersebut harus dibangun pada lokasi yang tanahnya sangat jelek dalam artian sifat mekanis tanah tersebut sangat rendah yang menyangkut daya dukung tanah kecil, penurunan/settlement yang besar seperti misalnya tanah lunak, sangat lunak dan lempung.

B. Klasifikasi Tanah

Secara umum klasifikasi tanah adalah pengelompokan berbagai jenis tanah ke dalam kelompok yang sesuai dengan sifat teknik dan karakteristiknya. Sistem klasifikasi tanah adalah suatu sistem yang mengatur jenis-jenis tanah yang berbeda-beda, tetapi mempunyai sifat-sifat yang serupa ke dalam kelompok-kelompok dan sub kelompok.

Klasifikasi ini pada umumnya didasarkan sifat-sifat indeks tanah yang sederhana seperti distribusi ukuran butir. Untuk menerangkan tentang tanah berdasarkan ukuran-ukuran butirananya, beberapa organisasi telah mengembangkan batasan-batasan ukuran golongan jenis tanah (*soil separate size limits*).

C. Penurunan Tanah

Penurunan (*settlement*) pada tanah dasar akan terjadi apabila tanah dasar tersebut menerima penambahan beban diatasnya. Penurunan tersebut disebabkan oleh adanya deformasi partikel tanah, relokasi partikel, dan keluarnya air atau udara air dalam pori. Penurunan juga dipengaruhi oleh sebaran tanah lunak atau lempung yang terdapat dibawah permukaan pada dataran alluvial. Penurunan akibat beban adalah jumlah total penurunan segera (*immediate settlement*) dan penurunan konsolidasi (*consolidation settlement*).

Tanah mempunyai sifat kemampatan yang sangat besar jika dibandingkan bahan konstruksi seperti baja atau beton. Hal ini disebabkan tanah mempunyai rongga pori yang besar, sehingga apabila dibebani melalui pondasi maka akan mengakibatkan perubahan struktur tanah (deformasi) dan terjadi penurunan pondasi. Jika penurunan yang terjadi terlalu besar maka dapat mengakibatkan

kerusakan pada konstruksi diatasnya. Berbeda dengan bahan- bahan konstruksi yang lain, karakteristik tanah ini di dominasi oleh karakteristik mekanisnya seperti kekuatan geser dan permeabilitas (kemampuan mengalirkan air).

Menurut Whitaker dan Reddish 1989, secara umum faktor penyebab terjadinya penurunan (*settlement*) antara lain:

1. Penurunan Tanah Alami (*Natural Subsidence*) yang disebabkan oleh proses-proses geologi seperti siklus geologi, sedimentasi daerah cekungan dan sebagainya. Beberapa penyebab terjadinya penurunan tanah alami bisa digolongkan menjadi:
 - a. Siklus Geologi Penurunan muka tanah terkait dengan siklus geologi. Proses-proses yang terlihat dalam siklus geologi.
 - b. Sedimentasi daerah cekungan biasanya daerah cekungan terdapat di daerah – daerah tektonik lempeng terutama di dekat perbatasan lempeng. Sedimen yang terkumpul di cekungan semakin lama semakin banyak dan menimbulkan beban yang bekerja semakin meningkat, kemudian proses kompaksi sedimen tersebut menyebabkan terjadinya penurunan permukaan tanah.
2. Penurunan Tanah Akibat Pengambilan Air Tanah (*Groundwater Extraction*). Pengambilan air tanah secara besar – besaran yang melebihi kemampuan pengambilannya akan mengakibatkan berkurangnya jumlah air tanah pada suatu lapisan akuifer. Hilangnya air tanah ini menyebabkan terjadinya kekosongan pori-pori tanah sehingga tekanan hidrostatis di bawah permukaan tanah berkurang sebesar hilangnya air tanah tersebut. Selanjutnya akan terjadi pemampatan lapisan akuifer.

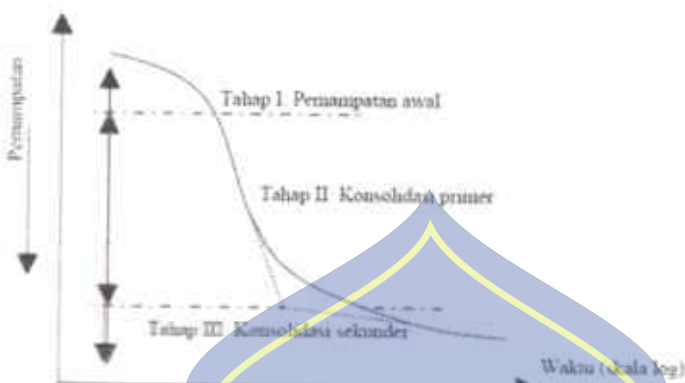
3. Penurunan Akibat Beban Bangunan (*Settlement*). Tanah memiliki peranan penting dalam pekerjaan kontruksi. Tanah dapat menjadi pondasi pendukung bangunan atau bahan konstruksi dari bangunan itu sendiri seperti tanggul atau bendungan. Penambahan bangunan di atas permukaan tanah dapat menyebabkan lapisan dibawahnya mengalami pemampatan. Pemampatan tersebut disebabkan adanya deformasi partikel tanah, relokasi partikel, keluarnya air atau udara dari dalam pori, dan sebab lainnya yang sangat terkait dengan keadaan tanah yang bersangkutan. Proses pemampatan ini pada akhirnya menyebabkan terjadinya penurunan permukaan tanah.

Penurunan (*settlement*) umumnya terjadi pada lapisan tanah kohesif (*clay/lempung*). Pada pemurunan ini, tegangan air pori secara kontinyu berpindah ke dalam tegangan efektif sebagai akibat dari keluarnya air pori. Pada tanah lempung jenuh air, penambahan total tegangan akan diteruskan ke air pori dan butiran tanah. Hal ini berarti penambahan tegangan total (Δo) akan terbagi ke tegangan efektif dan tegangan air pori. Selain itu penurunan juga terjadi setelah tekanan air pori hilang seluruhnya. Hal ini lebih disebabkan oleh proses pemampatan akibat penyesuaian yang bersifat elastis dari butir-butir tanah.

D. Konsolidasi Tanah

Konsolidasi tanah adalah suatu proses pengecilan volume secara perlahan-perlahan pada tanah jenuh sempurna dengan permeabilitas rendah akibat pengaliran sebagian air pori. Dengan kata lain, pengertian konsolidasi adalah proses terperasnya air tanah akibat bekerjanya beban statis, yang terjadi sebagai fungsi waktu karena kecilnya permeabilitas tanah. Proses ini berlangsung terus sampai tegangan total telah benar-benar hilang (Craig, 1994:213).

Pada umumnya, tahapan konsolidasi dapat ditunjukkan oleh grafik antara penurunan dan waktu.



Gambar 1. Hubungan waktu vs penurunan selama konsolidasi untuk suatu penambalan beban yang diberikan (Sumber: Das, 1994:184).

Dari gambar dilihat bahwa ada tiga tahapan yang berbeda yang dapat dijalankan:

Tahap I: Penurunan Awal (*initial compression*), dimana terjadi penurunan dengan segera sesudah beban bekerja, penurunan ini terjadi akibat proses penekanan udara keluar dari dalam pori tanah.

Tahap II: Konsolidasi Primer (*primary consolidation*), yaitu periode selama tegangan air pori secara lambat laut dipindahkan ke dalam tegangan efektif, sebagai akibat dari keluarnya air dari pori-pori tanah.

Tahap III: Konsolidasi Sekunder (*secondary consolidation*), yaitu terjadi setelah tegangan air pori hilang seluruhnya. Penurunan yang terjadi adalah disebabkan oleh penyesuaian yang bersifat plastis dari butir-butir tanah setelah konsolidasi primer.

Perbandingan tekanan prakonsolidasi dengan tekanan efektif vertikal pada saat tanah diselidiki menghasilkan dua kondisi yang didasarkan pada sejarah geologinya yaitu:

1. Terkonsolidasi Secara Normal (*Normally Consolidated/NC*), dimana tekanan efektif overburden saat ini merupakan tekanan maksimum yang pernah dialami tanah tersebut.
2. Terkonsolidasi Lebih (*Over Consolidated/OC*), dimana tekanan efektif overburden saat ini lebih kecil dari tekanan prakonsolidasi yang pernah dialami tanah tersebut.

E. Instrument Geoteknik *Settlement plate*

Settlement plate merupakan salah satu instrument geoteknik yang berfungsi untuk memonitor proses settlement pada pekerjaan *pavement*, dimana *settlement plate* berfungsi untuk memonitor nilai/ besaran dari penurunan tanah yang timbul akibat sistem preloading/ timbunan prabeban bangunan, sehingga proses pekerjaan *pavement* bisa dikatakan aman dari bahaya sliding/ longsor terhadap bangunan preloading atau balikan timbunan itu sendiri.

Pada *settlement plate* terdapat sensor yang bekerja untuk mengukur penurunan tanah, sensor transducer di tanam pada bagian ujung *settlement plate* dan elevasi tanah, sehingga ketika terjadi pergerakan tanah pada saat proses pekerjaan penimbunan galian dan pekerjaan lainnya maka akan terbaca oleh sensor tersebut.

Sedangkan alat diatas merupakan alat yang ditanam di dalam tanah dengan kedalam mengikuti rencana gambar, alat tersebut berfungsi untuk melihat penurunan tanah yang sudah dilengkapi dengan sensor agar proses pengamatan menjadi mudah.

Cara memasang *settlement plate* yaitu, pertama buat galian menggunakan bantuan alat berat atau dengan cara manual hingga kedalaman tertentu, kemudian

letakkan alat tersebut kedalam tanah. Timbun alat tersebut dengan tanah yang bekas galian tadi kemudian beri tanda di sekitar pipe cap agar tidak terkena material ataupun terkena benturan karena akan mempengaruhi nilai dari pemantauan. Kemudian sambungkan kabel dari sensor kedalam datalogger dan sambungkan pada perangkat laptop untuk membantu pemantauan pergerakan tanah. Pemantauan dapat dilakukan setiap hari pada saat proses pengeringan ataupun ketika tidak ada proses pengeringan.

Dari bacaan *Settlement plate* dapat pula diketahui nilai derajat konsolidasi dengan membandingkan besar penurunan aktual pada waktu tertentu terhadap penurunan total atau sesuai dengan

$$U_{V-sp} = \frac{S_f}{S_c} \quad (1)$$

Keterangan:

S_f = Penurunan konsolidasi dari bacaan *settlement plate* pada waktu t

S_c = penurunan total

E. Metode Observasi Asaoka untuk Memprediksi Penurunan Tanah

Penurunan yang terjadi pada timbunan diukur berdasarkan jenis instrument yang dipasang pada lokasi tersebut seperti *settlement plate*. Instrument tersebut dimonitor dari waktu ke waktu sesuai dengan data penurunan yang ingin didapatkan. Pendataan lapangan kemudian diinterpretasikan dengan menggunakan metode observasi seperti Metode Asaoka, Metode Hiperbolik dan Metode Viskositas.

Metode Asaoka (1978) adalah salah satu metode yang digunakan untuk memprediksi besarnya penurunan akhir (*final settlement*). Dengan metode ini besarnya penurunan tanah aktual dapat diprediksi tanpa membutuhkan parameter-parameter lain seperti data-data laboratorium, namun yang digunakan analisis pada konsolidasi ini yaitu hasil pengamatan lapangan seperti data tekanan air pori, panjang drainase, regangan maksimum tanah dan koefisien konsolidasi. Metode ini akan menghasilkan kurva linear jika tanah memenuhi asumsi Terzaghi. Berikut adalah langkah-langkah prediksi penurunan menggunakan metode Asaoka:

1. Merekap data dari hasil monitoring sesuai interval hari yang ditentukan. Interval minimal 3 hari.
 2. Plot grafik data hasil yang sudah diseleksi atau direkап, grafik hubungan s_n vs s_{n+1}
 3. Lalu tarik garis yang membentuk 45° pada grafik yang sama.
 4. Kemudian cari titik perpotongan antara plot data dengan garis 45° . Titik perpotongan dapat dicari menggunakan persamaan garis linier.
$$y = mx + c$$
 5. Dari titik perpotongan kedua garis tersebut diketahui nilai prediksi penurunan tanah dari metode asaoka.

a. Persamaan Umum Penurunan Terhadap Waktu Pada Observasi Asaoka

Hubungan antara penurunan tanah dan waktu diturunkan melalui persamaan diferensial berdasarkan persamaan dasar konsolidasi (Mikasa, 1963), yaitu:

$$e = C_v \varepsilon_{zz} \dots \quad (2)$$

Dimana:

$e(t,z)$ = regangan vertikal (regangan volum)

$t(\geq 0)$ = kedalaman dari bagian atas lapisan tanah

C_v = koefisien konsolidasi

Walaupun nilai permeabilitas dan koefisien kompresibilitas bervariasi terhadap waktu, persamaan di atas tetap efektif ketika nilai C_v konstan (Mikasa, 1963).

Persamaan dasar konsolidasi ini dipilih oleh Asaoka (1978) untuk diturunkan menjadi persamaan diferensial linear biasa karena lebih sederhana daripada persamaan konsolidasi Terzaghi. Persamaan akhir untuk menentukan nilai penurunan pada interval waktu ke- j dapat dituliskan sebagai berikut:

$$\rho_j = \frac{\beta_0}{1-\beta_1} \left(\frac{\beta_0}{1-\beta_0} \rho_0 \right) (\beta_1)^j \quad (3)$$

Dimana ρ_j = besarnya penurunan tanah pada waktu $t = t_j$, dan koefisien β_0 dan β_s ($s = 1, 2, \dots, n$) adalah parameter yang tidak diketahui.

b. Metode Grafis Prediksi Penurunan Tanah

Pengukuran data penurunan tanah dilapangan dilakukan dengan menggunakan instrument *settlement plate*. Untuk memperoleh prediksi penurunan akhir tanah, maka data-data penurunan ini harus dipilih, sehingga diperoleh nilai penurunan $\rho_1, \rho_2, \rho_3, \dots, \rho_n$ dengan interval waktu Δt yang konstan seperti dilihat pada gambar 2.2. Kemudian nilai ρ_n (sumbu y) dan nilai ρ_{n-1} (sumbu x) diplot sehingga akan diperoleh titik-titik yang membentuk garis lurus, seperti ditunjukkan pada gambar 2.3. ρ_0 adalah waktu titik plot pertama dari regresi linear ρ_n dan ρ_{n-1} .

Penurunan akhir (ρ_f) adalah titik adalah pertemuan antara garis $\rho_n = \rho_{n-1}$ (bersudut 45°) dengan trendline dari garis ρ_n vs ρ_{n-1} sebenarnya. Setelah diperoleh penurunan akhir (ρ_f) maka dapat dicari nilai β_1 yang merupakan kemiringan dari garis ρ_n vs ρ_{n-1} sebenarnya, yang memberikan hubungan:

$$\beta_1 = \frac{\rho_f - \beta_0}{\rho_f} \quad (4)$$



Gambar 2. Prosedur analisa data monitoring penurunan dengan interval waktu yang konstan (sumber: Magnan and Deroy, 1980)

Gambar 3. Prediksi penurunan akhir dengan metode Asaoka (sumber: jurnal teknik sipil vol. 19 no. 2 agustus 2012)

c. Koreksi Nilai Koefisien Konsolidasi

Berdasarkan metode Asaoka, dapat diperoleh nilai koefisien konsolidasi arah vertikal (C_v) dan koefisien konsolidasi arah radial/vertical (C_h). Nilai koreksi koefisien konsolidasi ini berguna untuk mengetahui kecepatan penurunan konsolidasi pada suatu lapisan tanah lempung yang telah diberi perbaikan tanah timbunan dan PVD. Nilai koefisien konsolidasi arah vertikal (C_v) dapat dihitung dengan menggunakan persamaan berikut:

$$\frac{4H^2 \ln \beta}{\pi^2 \Delta t} \quad (5)$$

Dan koefisien konsolidasi arah radial/ horizontal dapat dihitung dengan rumus berikut:

$$\frac{(1-\beta)dw^2 F_n}{8\beta \Delta t} \quad (6)$$

Dimana:

C_v = koefisien konsolidasi arah vertikal

H = tebal lapisan tanah yang terkonsolidasi

β = kemiringan kurva σ'_v vs σ_v

Δt = selang waktu dalam pengamatan penurunan

C_h = koefisien konsolidasi arah radial/ horizontal koreksi

d_w = diameter daerah pengaruh PVD

F_n = fungsi n terhadap waktu akibat PVD

G. Teori Preloading

Pada tanah yang lunak, mudah dapat mampat dan tebal, kadang-kadang dibutuhkan untuk mengadakan pembebahan sebelum pelaksanaan bangunannya sendiri. Cara ini disebut prapembebahan (*preloading*). Maksud dari prapembebahan ini adalah untuk meniadakan atau mereduksi penurunan konsolidasi primer, yaitu dengan membebani tanah lebih dulu sebelum pelaksanaan bangunan. Setelah penurunan konsolidasi primer selesai atau sangat kecil, baru beban tanah dibongkar dan struktur dibangun di atas tanah tersebut (Johnson, 1970).

Bila dalam pelaksanaan dibutuhkan pembebahan terbagi rata dengan tambahan intesitas tegangan sebesar P_f akibat pembebahan penurunan konsolidasi primer total diperkirakan akan sama dengan $S_c(f)$. Jika diinginkan untuk menghilangkan penurunan konsolidasi primer, maka harus dikerjakan intesitas beban terbagi rata total sebesar $P = P_f + P_s$, beban ini akan menyebabkan penurunan yang lebih cepat. Bila penurunan total $S_c(f)$ telah tercapai, beban disingkirkan untuk kemudian dilaksanakan pembangunan struktur yang dimenginkan. (Johnson 1970)



Gambar 4. Konsep mempercepat penurunan dengan cara prapeimbahan
(sumber: mekanika tanah 2 Hardiyatmo, H. C. 2001)

Korelasi antara tekanan Ps dan waktu harus dipertimbangkan dalam hitungan. Untuk itu, perlu diperhatikan variasi sifat derajat konsolidasi pada sembarang waktu sesudah beban bekerja diatas lapisan lempung. Derajat konsolidasi pada kedalaman tertentu (U_z) akan berubah sepanjang kedalamannya dan akan minimum pada bagian tengah, yaitu pada kedalaman $z = H$. Jika derajat konsolidasi rata-rata (U_r) digunakan sebagai kriteria untuk pembongkaran beban terbagi ratanya, maka sesudah pembongkaran, lempung yang terletak di bagian tengah akan tetap diam dan lempung yang terletak di dekat lapisan-lapisan lolos air akan cenderung untuk mengembang. Untuk menghindari masalah ini, dalam hitungan, perlu ditentukan cara yang tepat untuk mengambil pendekatan dalam penggunaan derajat konsolidasi U_z pada bidang tengah $z = H$.

Durasi preloading dengan timbunan umumnya berkisaran 3 sampai 8 bulan mulai dari penampatan/ *surcharge* sampai *surcharge* diangkat, meskipun ada kondisi tertentu dimana hanya dibutuhkan enam minggu untuk pekerjaan preloading ataupun pula berjalan sebaliknya sampai tiga tahun. Menurut Stapelfeldt (2006), beban tambahan sementara dapat diangkat ketika penurunan diperkirakan melebihi penurunan akhir yang dapat dicapai tanpa menggunakan preloading. Namun sebaiknya, tidak dilakukan sebelum tegangan pori berlebih berada di bawah peningkatan tegangan yang disebabkan oleh beban sementara.

Dalam preloading menggunakan timbunan agar sesuai besar penurunan konsolidasi yang akan dicapai. Beban timbunan direncanakan dengan ketinggian tertentu. Tinggi timbunan pada umumnya adalah: 3 – 8 meter dengan penurunan yang terjadi umumnya berkisar 0.3 – 2.0 meter (Stamatopoulus, 1985).

Ada beberapa syarat menurut Stamatopoulus (1985), yang menentukan apakah suatu lahan dilakukan perbaikan tanah menggunakan teknik preloading atau tidak, seperti:

1. Tersedia lahan tambah untuk mengakomodisir disekitar 10 m atau lebih di luar parameter struktur rencana.
2. Tersedia material timbunan, adanya alat angkutan material timbunan yang tentu saja material tersebut dalam volume yang sangat besar, dan adanya penanganan yang baik dari owner maupun enginer yang mengerjakannya.
3. Preloading dikatakan berhasil bila tidak ada retak maupun kelongsoran dibagian dasar selama preloading maupun selama akhir pengoperasian struktur.
4. Durasi preloading sesuai dengan jadwal rencana konstruksi.
5. Tidak ada kerusakan pada struktur yang berdampingan, tidak mengganggu di lingkungan sekitar dengan debu, kebisingan lain dan sebagianya yang ditimbulkan dari pekerjaan perbaikan tanah dengan metode preloading ini.
6. Penurun yang terjadi masih dalam rentang batas toleransi yang ada biaya yang dikeluarkan sesuai dengan yang direncanakan.

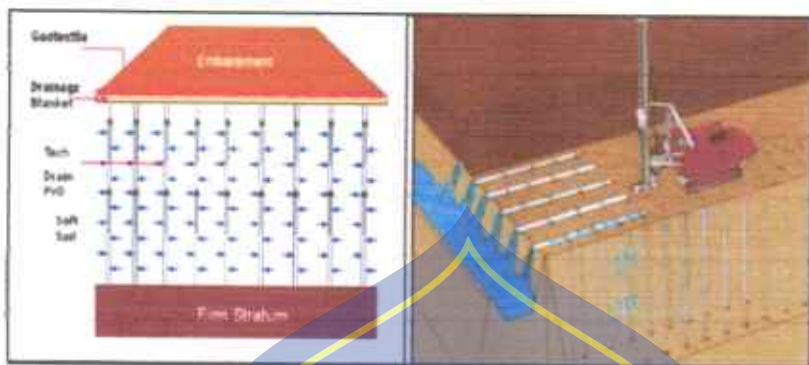
Hal lain yang perlu diperhatikan dalam teknik *preloading* dengan menggunakan timbunan yaitu daya dukung tanah dasar. Ada dua hal yang dapat dilakukan untuk menghindari terjadinya kelongsoran yaitu:

1. Pemberian timbunan secara bertahap
2. Pemberian timbunan secara *counter weight*.

H. Teori Perencanaan Drainase Vertikal (*Vertikal Drain*)

PVD merupakan material geosintetik yang konsep kerjanya sama dengan kolam pasir yang mempunyai karakteristik sebagai pengumpul air pori kemudian

akan dialirkan secara vertikal baik ke atas maupun ke bawah lapisan tanah sepanjang PVD tersebut.



Gambar 5. Aliran air pori pada PVD (sumber: skripsi teknik sipil Jeremy, 2019)

PVD umumnya berbentuk pita dengan sebuah inti plastik beralur terbuat dari material geosintesis (material polimer) yang dibentuk seperti potongan yang panjang. Material polimer dapat berupa material PVC dengan lebar 90 sampai 100 mm, ketebalan 2 sampai 6 mm (Gulhati, Shashki K., 2005). Berikut contoh *prefabricated vertical drain* (PVD).



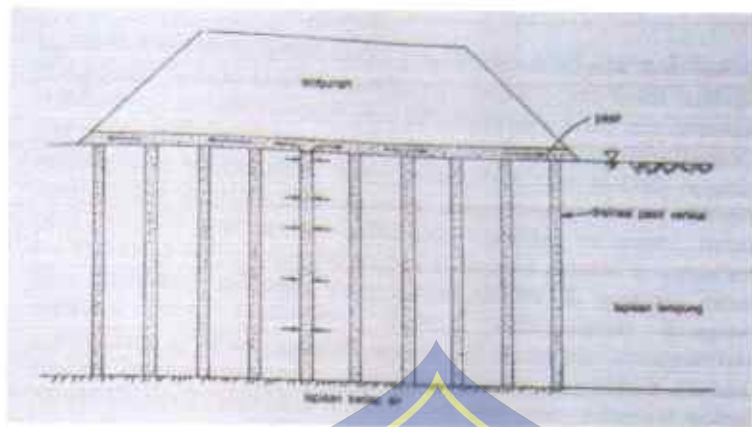
Gambar 6. PVD (sumber: skripsi teknik sipil Jeremy, 2019)

Jika menggunakan PVD, maka karakteristik hidroliknya harus diperhatikan dengan seksama, seperti kapasitas pengeluaran air dan permeabilitas dari filter dan kuat tekuk serta daya tahannya dari degradasi fisik dan biokimia dalam berbagai

kondisi cuaca dan lingkungan. PVD biasanya digunakan sampai pada kedalaman lapisan tanah undrained dengan menggunakan rig penetrasi statis.

Kecepatan konsolidasi yang rendah pada tanah-tanah lempung, dan tanah yang mudah mampat lainnya dapat dipercepat dengan menggunakan drainase pasir (atau bahan lain) yang ditanam secara vertikal. Drainase pasir ini memberikan lintasan air pori yang lebih pendek ke arah horizontal. Jarak drainase arah horizontal yang lebih pendek menambah kecepatan proses konsolidasi beberapa kali lebih cepat. Disamping itu, permeabilitas tanah ke arah horizontal yang beberapa kali lebih besar, juga mempercepat laju proses konsolidasi. Proses konsolidasi yang diperecepat ini mempercepat pula kenaikan kuat geser tanah aslinya. Pengalaman menunjukkan, bahwa drainase pasir tidak cocok untuk diterapkan pada tanah dengan nilai konsolidasi sekunder yang tinggi, seperti lempung yang berplastisitas tinggi dan gambut (peat).

Drainase pasir vertikal biasanya terdiri dari lubang bor vertikal yang menembus lapisan lempung jenit yang relatif tebal dimana lapisan lempung ini terletak pada lapisan batu, cadas, atau lapisan kedap air yang diendapkan melalui proses geologi. Lubang bor diisi dengan pasir dengan gradasi tertentu. Berat timbunan yang dibangun diatas drainase pasir vertikal menyebabkan tanah yang lunak mampat. Mampatnya tanah adalah akibat dari air yang dipaksa mengalir ke atas lateral (horizontal) ke drainase pasir. Dari sini, air mengalir ke atas, menuju lapisan air yang diletakkan pada dasar tanah timbunan. Bila beban bertambah besar, maka kecepatan konsolidasi akan bertambah pula.



Gambar 7. Struktur drainase pasir vertikal (*sumber: mekanika tanah 2 Hardiyatmo, H. C, 2001*)

Kadang-kadang drainase pasir vertikal dibangun di atas tanah yang lolos air seperti pasir. Kondisi ini akan memberikan kondisi drainase dobel kearah atas dan bawah, dengan demikian akan lebih mempercepat proses konsolidasi.



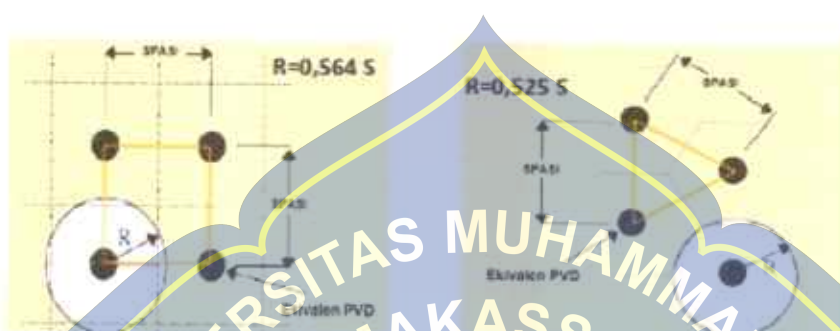
Gambar 8. Struktur drainase pasir vertikal dengan lapisan dasar berupa lapisan yang lolos air. (*sumber: mekanika tanah 2 Hardiyatmo, H. C, 2001*)

Untuk penentuan titik pemasangan PVD biasanya akan digunakan pola-pola tertentu untuk memudahkan pelaksanaan. Pada umumnya, PVD dipasang dengan 23 pola bujur sangkar atau segitiga dimana rumus yang berlaku untuk mengetahui daerah pengaruh kerja PVD itu adalah:

$$R = 0,546S \text{ atau } de = 1,13S \text{ (untuk pola bujur sangkar)} \dots \quad (7)$$

$$R = 0,525S \text{ atau } de = 1,05S \text{ (untuk pola segitiga)} \dots \quad (8)$$

Dimana R adalah jari-jari, d adalah diameter jangkauan kerja PVD dan S adalah spacing atau jarak antar PVD.



Gambar 9. Bentuk konfigurasi pemasangan *vertical drains* (Baron, 1948)

a. Faktor-Faktor yang Mempengaruhi Pekerjaan Vertical Drain

Vertical drain tidak bekerja secara maksimal pada lokasi pekerjaannya. Selalu ada beberapa faktor yang mempengaruhi pekerjaan vertical drain terutama selama proses pemasangan seperti pemasangan vertikal, gangguan tanah pada daerah pengaliran, dan penyumbatan. Faktor-faktor tersebut akan menimbulkan penundaan konsolidasi yang menciptakan masalah yang tidak diharapkan oleh para insinyur sipil. Terkadang ketika konstruksi dikerjakan tanpa memperhitungkan penundaan konsolidasi, akan menghasilkan penurunan yang tidak bisa diprediksi dimasa yang akan datang. Dengan demikian, adalah sangat penting untuk mempelajari faktor-faktor yang perlu diperhitungkan dalam vertical drain.

b. Diameter Ekuivalen Vertical Drain

Cardboard Wick merupakan tipe pertama dari PVD yang dipasarkan oleh Swedish Geotechnical Institute dan diperkenalkan oleh Kjellman pada tahun 1947.

dimana besar diameter ekivalennya adalah 50 mm. Selanjutnya Hansbo dari hasil percobaannya pada tahun 1979 memunjukkan bahwa konsolidasi PVD akan mendekati besar konsolidasi radial apabila diameter ekivalen dari PVD. Berikut ini diberikan diameter ekivalen dari berbagai jenis PVD yang terdapat di pasaran yang dapat kita lihat pada Tabel 1.

Tabel 1. Karakteristik dari berbagai jenis PVD

Nama dagang	Lebar PVD (mm)	Tebal PVD (mm)	Terbungkus Filter	dw (mm)
Aldrain	100	6	Yes	67
Amerdrain	98	10	Yes	65
Bando Chemical	98	2,9	Yes	63
Cardboard wick	100	3	No	65
Castleboard	94	2,6	Yes	62
Coldbond	100	5	Yes	67
Desol	195	3	No	62
Fibre Drain	80 s/d 100	8 s/d 10	Yes	65
Flodrain	95	4	Yes	63
Geodrain, L-type	95,8	3,4	Yes	63
Geodrain, M-type	95,8	4,3	Yes	64
Mebradrain	100	3 s/d 5	Yes	66
OV-drain	103	2,5	No	71
PVC	100	1,6	No	65
Tafnel	102	6,9	No	69

c. Zona Pengaruh pada PVD (*Prefabricated Vertical Drain*)

Vertical Drain biasa dipasang dalam pola segitiga atau segiempat. Vertical drain mempunyai zona pengaruh sendiri dimana dapat dituliskan sebagai D (Barron, 1948) sana dengan 1,13 s untuk pemasangan drain pada pola segiempat, dan 1,05s untuk pola segitiga seperti pada Gambar 9.

Pola segiempat lebih mudah dipasang, tetapi pada pola segitiga menghasilkan konsolidasi yang seragam antara pengaliran jika dibandingkan dengan pola segiempat.

Pada perencanaan vertikal drain pada umumnya dihitung dengan menggunakan persamaan Barron (1948) yang relatif sederhana yaitu:

1. Faktor waktu vertikal (Tv)

$$Tv = \frac{Cv \times t}{Hd r^2} \quad (9)$$

Dimana:

Tv = faktor waktu vertikal

Cv = Koefisien konsolidasi vertikal ($m^2/hari$)

t = waktu ke-n (hari)

Hd = jarak air port (m)

$Hd = \frac{1}{2} H$, bila arah aliran air selama proses konsolidasi adalah

dua arah (keatas dan kebawah) double drainase.

$Hd = H$, bila arah drainage adalah satu arah (keatas atau

kebawah) single drainase. Hal ini terjadi bila diatas atau di bawah

lapisan compressible merupakan lapisan yang kedap air.

2. Derajat konsolidasi vertikal (Uv)

Nilai Uv dapat dicari dengan rumus:

Untuk Uv antara 0 % sampai 60%

$$Uv = \left(2 \sqrt{\frac{Tr}{\pi}} \right) 100\% \quad (10)$$

Untuk Uv antara 60% sampai 100%

$$Uv = (100 - 10^n)\% \quad (11)$$

Dimana:

Uv = derajat konsolidasi arah vertikal

T_v = faktor waktu arah vertikal

$$a = (1,781 - T_v) / 0,933$$

3. Faktor waktu horizontal (Th)

$$Th = \frac{Ch \times t}{de^2} \quad (12)$$

Dimana:

Th = faktor waktu horizontal

de^2 = diameter jangkauan (m)

t = waktu ke- n (hari)

Ch = koefisien konsolidasi horizontal (m^2/hari)

4. Derajat konsolidasi horizontal (Uh)

$$n = de/dw \quad (13)$$

$$Fn = \left(\frac{n^2}{(n^2-1)} \right) \cdot \ln(n) - \left(\frac{3n^3-1}{(4n^2)} \right) \quad (14)$$

$$Uh = \left[1 - \left(\frac{t \times 0,933 \cdot Ch}{e \cdot dw^2 \cdot Fn} \right) \right] \quad (15)$$

Dimana:

Uh = Derajat konsolidasi (Uh)

t = waktu konsolidasi

Fn = faktor hambatan disebabkan karena jarak antara PVD

e = 2,7182818

d_w = diameter ekuivalen PVD

5. Derajat konsolidasi (U)

$$U = [1 - (1 - Uh)(1 - T_v)] \quad (16)$$

Dimana:

U = derajat konsolidasi (%)

6. Besar penurunan (Sc)

Dimana:

U = derajat konsolidasi (%)

Scult = penurunan total (ultimate)

I. Matriks Penelitian Terdahulu

Adapun penilitian serupa dengan penelitian ini adalah Evaluasi Kinerja Perbaikan Tanah Lunak Menggunakan Instrument Bandung Area Cluster Amanda dan Btari dengan Penggunaan *Preloading* dan *prefabricated Vertical Drain* (PVD) oleh Zahra Ferbriani Lilabsari (2017). Menggunakan metode penelitian kajian bersifat mengevaluasi penurunan teoritis tentang menghitung prediksi penurunan akhir dengan metode observasi Asaoka serta derajat konsolidasi dilapangan. Hasil penelitian adalah mengetahui prediksi penurunan akhir metode Asoka, mengetahui derajat konsolidasi bacaan settlement plate, mengetahui derajat konsolidasi bacaan Piezometer dan memprediksi waktu tunggu konsolidasi mencapai 90%.

BAB III

METODE PENELITIAN

A. Tempat dan Waktu Penelitian

Penelitian ini dilaksanakan di Proyek Pembangunan Reklamasi Pantai Makassar Newport yang terletak di Jl. Sultan Abdullah Raya, Kaluku Bodoa Kecamatan Tallo Kota Makassar, Sulawesi Selatan. Gambar lokasi Proyek Pembangunan Reklamasi Pantai Makassar Newport dapat dilihat pada gambar 10. Waktu penelitian ini dilaksanakan pada awal bulan Agustus.



Gambar 10. Lokasi penelitian (sumber: google earth)

B. Sumber Data

Data yang digunakan pada penilitian ini adalah sebagai berikut:

1. Data primer pada penelitian ini yaitu data yang diperoleh langsung dari pembacaan alat *settlement plate* dilapangan.
2. Data sekunder pada penelitian ini yaitu berupa data hasil pembacaan *settlement plate*, elevasi reklamasi dan data *preload*.

C. Alat Yang Digunakan

Alat-alat yang digunakan pada penelitian ini adalah sebagai berikut:

1. *Settlement plate* : Alat yang digunakan untuk mengukur penurunan tanah yang terjadi pada waktu tertentu.
2. Waterpass : Alat yang digunakan untuk menetukan kerataan permukaan tanah.
3. Rambu ukur : Alat yang digunakan untuk mengukur beda tinggi garis bidik dengan permukaan tanah.
4. PVD : Alat yang digunakan untuk mempersingkat jarak tempuh air pada pori-pori tanah.
5. Alat Tulis
6. Laptop

D. Analisa Data

1. Analisa prediksi penurunan akhir (*Settlement Final*) dengan Metode Asaoka
Penurunan akhir (*Settlement Final*) dihitung dengan menggunakan metode Asaoka. Langkah-langkah perhitungan prediksi penurunan akhir yaitu sebagai berikut:

- a. Merekap data dari hasil monitoring sesuai interval hari yang ditentukan. Interval minimal 3 hari.
- b. Plot grafik data hasil yang sudah diseleksi atau direkap, grafik hubungan ρ_n vs $\rho_n + 1$.
- c. Lalu tarik garis yang membentuk 45° pada grafik yang sama.

- d. Kemudian cari titik perpotongan antara plot data dengan garis 45° . Titik perpotongan data dicari menggunakan persamaan garis linear.
- e. $y = mx + c$
- f. Dari titik perpotongan kedua garis tersebut diketahui nilai prediksi penurunan tanah dari metode Asaoka.
- g. Dari grafik Asaoka dapat pula dihitung nilai koefisien β , koefisien konsolidasi
2. Analisa koefisien konsolidasi vertikal (C_v) dan koefisien konsolidasi horizontal (C_h)

Untuk menghitung nilai koefisien konsolidasi vertikal (C_v) dan koefisien konsolidasi horizontal (C_h) perlu diketahui nilai koefisien β . Nilai koefisien β dihitung dengan menggunakan rumus:

$$\beta = \frac{\rho_f - \rho_0}{\rho_f}$$

Dimana:

ρ_f = penurunan final

ρ_0 = titik plot pertama pada grafik Asaoka

Setelah diperoleh nilai koefisien β dapat dihitung nilai koefisien konsolidasi vertikal dan koefisien konsolidasi horizontal dengan menggunakan persamaan sebagai berikut:

$$C_v = \frac{4H^2 \ln \beta}{\pi^2 \Delta t}$$

$$Ch = \frac{(1-\beta)dw^2Fn}{8\beta\Delta t}$$

Dimana:

C_v = koefisien konsolidasi arah vertikal

H = tebal lapisan tanah yang terkonsolidasi

β = kemiringan kurva ρ_n vs ρ_{at}

Δt = selang waktu dalam pengamatan penurunan

C_h = koefisien konsolidasi arah radial/ horizontal koreksi

d_w = diameter daerah pengaruh PVD

F_n = fungsi n terhadap waktu akibat PVD

3. Analisa sisa settlement

Sisa settlement di lapangan dapat dihitung dengan menggunakan rumus

sebagai berikut:

$Sisa settlement = settlement final - bacaan akhir settlement plate$

4. Analisa derajat konsolidasi aktual

Analisa derajat konsolidasi aktual dihitung dengan menggunakan rumus

sebagai berikut:

$U_{aktual} = St / Sc$

Dimana:

St = penurunan konsolidasi dari bacaan *settlement plate* pada waktu t

Sc = penurunan total

5. Analisis waktu penurunan konsolidasi menggunakan PVD dan tanpa menggunakan PVD

Analisis waktu pernurunan konsolidasi menggunakan PVD dan tanpa menggunakan PVD dapat dihitung dengan menggunakan persamaan Barron (1948).

- 1) Perhitungan waktu konsolidasi dengan menggunakan PVD

- a. Perhitungan faktor waktu vertikal (Tv)

$$Tv = \frac{Cv \times t}{Hd^2}$$

Dimana:

Tv = faktor waktu vertikal

Cv = Koefisien konsolidasi vertikal ($m^2/hari$)

t = waktu ke-n (hari)

Hd = jarak air pori (m)

Hd = H , bila arah aliran air selama proses konsolidasi adalah dua arah (keatas dan kebawah) double drainase.

Hd = H , bila arah drainage adalah satu arah (keatas atau kebawah)/ single drainase. Hal ini terjadi bila diatas atau di bawah

lapisan compressible merupakan lapisan yang kedap air.

- b. Derajat konsolidasi vertikal (Uv)

Nilai Uv dapat dicari dengan rumus:

Untuk Uv antara 0 % sampai 60%

$$Uv = \left(2 \sqrt{\frac{r_v}{\pi}} \right) 100\%$$

Untuk Uv antara 60% sampai 100%

$$Uv = (100 - 10a) \%$$

Dimana:

Uv = derajat konsolidasi arah vertikal

Tv = faktor waktu arah vertikal

$$a = (1,781 - Tv) / 0,933$$

c. Faktor waktu horizontal (Th)

$$Th = \frac{Ch \times t}{de^2}$$

Dimana:

Th = faktor waktu horizontal

de^2 = diameter jangkauan (m)

t = waktu ke- n (hari)

Ch = koefisien konsolidasi horizontal ($m^2/hari$)

d. Derajat konsolidasi horizontal (Uh)

$$n = de/dw$$

$$Fn = \left(\frac{n^2}{(n^2-1)} \right) \cdot \ln(n) - \left(\frac{3n^2-1}{4n^2} \right)$$

$$Uh = \left[1 - \left(\frac{1}{\frac{exB \times Ch}{dw^2 Fn}} \right) \right]$$

Dimana:

Uh = Derajat konsolidasi (Uh)

t = waktu konsolidasi

F_n = faktor hambatan disebabkan karena jarak antara PVD

$$e = 2,7182818$$

d_w = diameter ekuivalen PVD

e. Derajat konsolidasi (U)

$$U = [1 - (1 - Uh)(1 - Uv)]$$

Dimana:

U = derajat konsolidasi (%)

f. Besar penurunan (Sc)

$$Sc = U \times Sc_{ult}$$

Dimana:

U = derajat konsolidasi (%)

Sc_{ult} = penurunan total (ultimate)

2) Perhitungan waktu konsolidasi tanpa menggunakan PVD

a. Perhitungan faktor waktu vertikal (T_v)

$$T_v = \frac{C_v \times t}{H d r^2}$$

Dimana:

T_v = faktor waktu vertikal

C_v = Koeffisien konsolidasi vertikal ($m^2/hari$)

t = waktu ke-n (hari)

$H d r$ = jarak air pori (m)

$H d r = \frac{1}{2} H$, bila arah aliran air selama proses konsolidasi adalah

dua arah (keatas dan kebawah) double drainase.

$H_{dr} = H$, bila arah drainage adalah satu arah (keatas atau kebawah)/ single drainase. Hal ini terjadi bila diatas atau di bawah lapisan compressible merupakan lapisan yang kedap air.

b. Derajat konsolidasi vertikal (U_v)

Nilai U_v dapat dicari dengan rumus:

Untuk U_v antara 0 % sampai 60%

$$U_v = \left(2 \sqrt{\frac{T_v}{\pi}} \right) 100\%$$

Untuk U_v antara 60% sampai 100%

$$U_v = (100 - 10a)\%$$

Dimana:

U_v = derajat konsolidasi arah vertikal

T_v = faktor waktu arah vertikal

$$a = (1.781 - T_v) / 0.933$$

c. Besar penurunan (S_c)

$$S_c = U \times S_{ult}$$

Dimana:

U = derajat konsolidasi (%)

S_{ult} = penurunan total (ultimate)

E. Bagan Alir Penelitian



Gambar 11. Bagan alir penelitian

BAB IV

HASIL DAN PEMBAHASAN

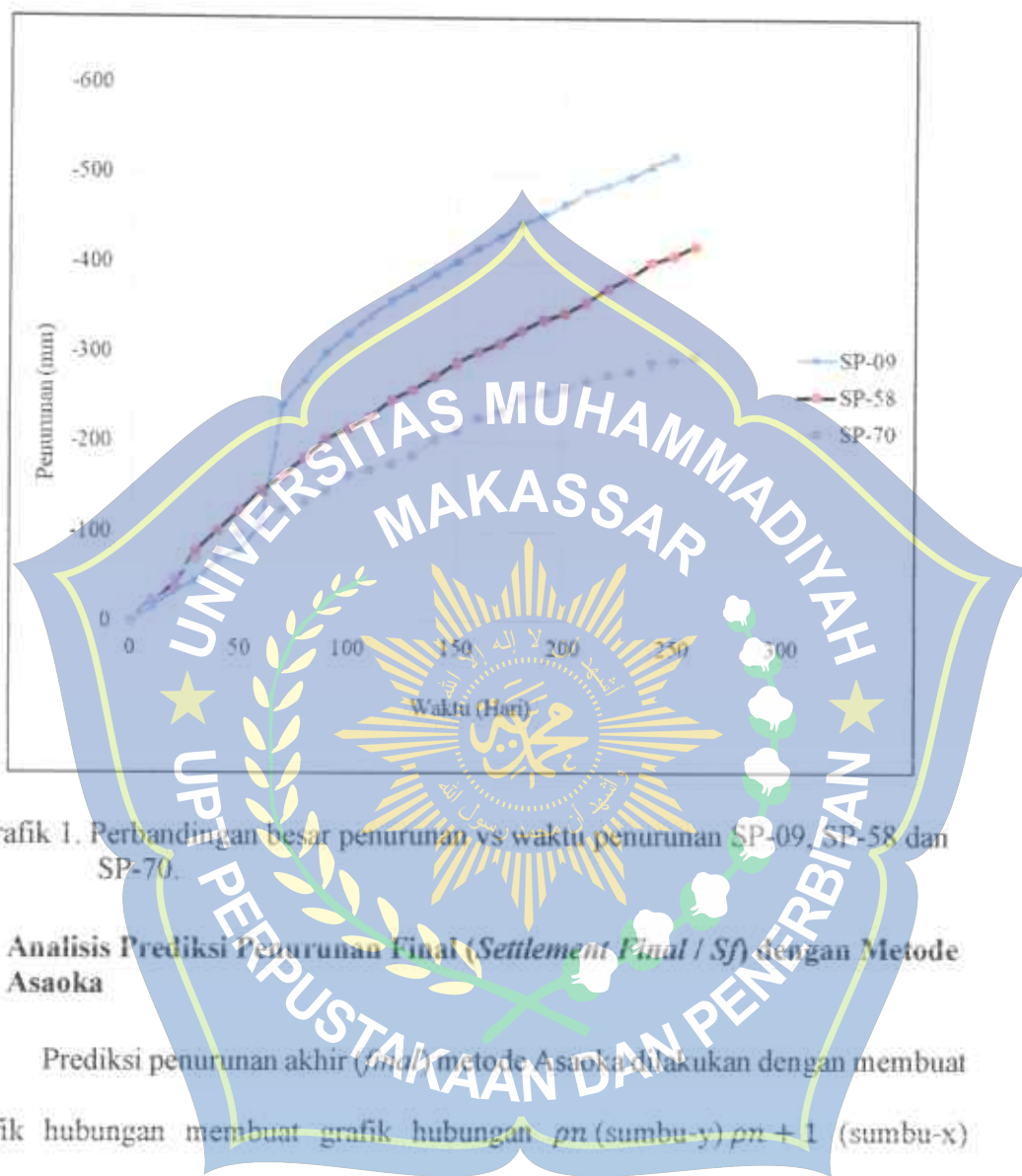
A. Data Settlement Plate

Data *settlement plate* yang digunakan dalam penelitian ini adalah data SP-09, SP-58 dan SP-70. Data masing-masing *settlement plate* direkap dengan menggunakan interval 10 hari. Hasil rekap data masing-masing *settlement plate* dengan interval 10 hari ditampilkan pada Tabel 2.

Tabel 2. Rekap data SP-09, SP-58 dan SP-70 dengan interval 10 hari

Hari ke-	SP-09		SP-58		SP-70	
	pn (mm)	pn - 1 (mm)	pn (mm)	pn - 1 (mm)	pn (mm)	pn - 1 (mm)
0	0	0	0	0	0	0
10	-16	0	-24	0	-22	0
20	-33	-16	-40	-24	-50	-22
30	-45	-33	-78	-40	-69	-50
40	-68	-45	-101	-78	-78	-69
50	-78	-68	-123	-101	-97	-78
60	-106	-78	-145	-123	-112	-97
70	-241	-106	-162	-145	-125	-112
80	-270	-241	-182	-162	-134	-125
90	-300	-270	-203	-182	-146	-134
100	-320	-300	-215	-203	-163	-146
110	-340	-320	-228	-215	-169	-163
120	-357	-340	-247	-228	-176	-169
130	-372	-357	-259	-247	-185	-176
140	-387	-372	-273	-259	-193	-185
150	-402	-387	-289	-273	-213	-203
160	-416	-402	-301	-289	-227	-213
170	-429	-416	-311	-301	-234	-227
180	-444	-429	-324	-311	-250	-234
190	-453	-444	-337	-324	-256	-250
200	-466	-453	-344	-337	-261	-256
210	-480	-466	-357	-344	-269	-261
220	-488	-480	-373	-357	-276	-269
230	-496	-488	-385	-373	-280	-276
240	-509	-496	-402	-385	-290	-280
250	-520	-509	-409	-402	-293	-290
260	-532	-520	-420	-409	-297	-293

Perbandingan besar penurunan vs waktu penurunan SP-09, SP-58 dan SP-70 ditunjuk oleh grafik 1.

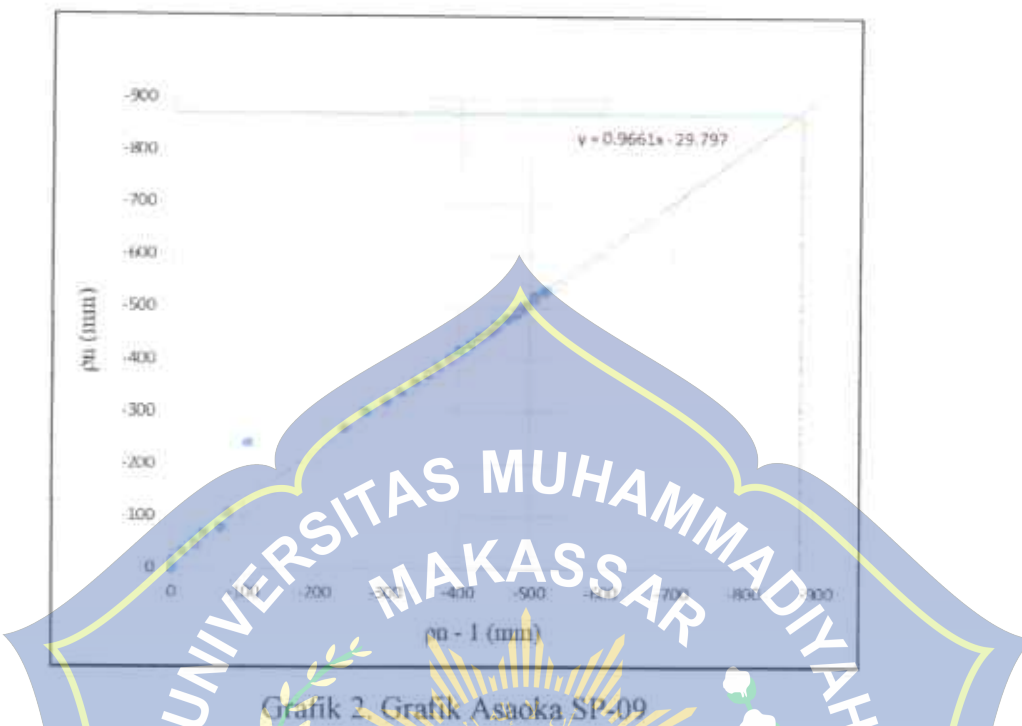


Grafik 1. Perbandingan besar penurunan vs waktu penurunan SP-09, SP-58 dan SP-70.

B. Analisis Prediksi Penurunan Final (*Settlement Final / S_f*) dengan Metode Asaoka

Prediksi penurunan akhir (S_f) metode Asaoka dilakukan dengan membuat grafik hubungan membuat grafik hubungan p_n (sumbu-y) $p_n + 1$ (sumbu-x) berdasarkan table 4.1 sehingga membentuk garis linear yang akan berpotongan dengan garis 45° . Dari titik potong ini akan didapat nilai x untuk kemudian dilakukan prediksi penurunan akhir menggunakan persamaan regresi dari setiap grafik. Berikut grafik Asaoka dari setiap *settlement plate*:

1. SP-09, EL Preload 7,389 m



2. SP-58, EL Preload 5,758 m



Grafik 3. Grafik Asaoka SP-58

3. SP-70, EL Preload 8 m



Sehingga didapatkan nilai *settlement final* pada SP-09 adalah sebesar -878,9676 mm. Hasil perhitungan prediksi *settlement final* setiap *settlement plate* ditampilkan pada Tabel 3.

Tabel 3. Hasil perhitungan prediksi *penurunan final* metode Asaoka

<i>Settlement Plate</i>	Penururnan s.d. hari ke 260 (mm)	Penurunan Final (mm)
SP-09	-552	-878,9676
SP-58	-420	-836,0392
SP-70	-297	-471,25

Dari hasil perhitungan diperoleh nilai prediksi penurunan akhir (*final*) yang mendekati penurunan aktual yaitu nilai penurunan akhir SP-09 sebesar -878,9676 mm, SP-58 sebesar -836,0392 mm dan SP-70 -471,25 mm.

C. Analisa koefisien konsolidasi vertikal (C_v) dan koefisien konsolidasi horizontal (C_h)

Untuk menghitung koefisien konsolidasi vertikal (C_v) dan koefisien konsolidasi horizontal (C_h) perlu diketahui nilai koefisien β terlebih dahulu. Nilai koefisien β dapat diperoleh dari grafik Asaoka. Berikut nilai koefisien β untuk SP-09.

$$\begin{aligned}\beta &= \frac{\rho_f - \beta_0}{\rho_f} \\ &= \frac{-878,9676 - (-16)}{-878,9676} \\ &= 0,981\end{aligned}$$

Sehingga, nilai koefisien β adalah 0,981. Setelah diperoleh nilai koefisien β , maka nilai koefisien konsolidasi vertikal dan koefisien konsolidasi horizontal dapat diketahui dengan cara sebagai berikut:

$$\begin{aligned}Cv &= \frac{4H^2 \ln \beta}{\pi^2 \Delta t} \\ &= \frac{4(21)^2 \ln 0,981}{3,14^2 \cdot 10} \\ &= \frac{1764 \ln 0,981}{98,596} \\ &= 0,329 \text{ m}^2/\text{hari} \\ Ch &= \frac{(1-\beta)dw^2 F_n}{8\beta \Delta t} \\ &= \frac{(1-0,981) 0,067^2 \cdot 1,749}{8 \times 0,981 \times 10} \\ &= \frac{0,000149}{78,48} \\ &= 0,0000019 \text{ m}^2/\text{hari}\end{aligned}$$

Tabel 4. Hasil perhitungan koefisien konsolidasi vertikal (Cv) dan koefisien konsolidasi horizontal (Ch)

<i>Settlement Plate</i>	Penurunan s.d. hari ke 260 (mm)	Penurunan Final (mm)	β	Cv	Ch
SP-09	-532	-878,9676	0,981	0,329	0,0000019
SP-58	-420	-836,0392	0,971	0,527	0,0000029
SP-70	-297	-471,25	0,953	0,861	0,0000048

D. Analisis sisa *settlement* di lapangan

Berdasarkan nilai prediksi penurunan akhir (*final*) dan penurunan total bacaan akhir *settlement plate* dilapangan, maka sisa *settlement* dilapangan dapat diketahui dengan cara sebagai berikut:

Sisa *settlement plate*-09;

Sc bacaan akhir *settlement plate*

Settlement Final

Sisa *settlement*

$$\begin{aligned}
 & \text{Sisa } \textit{settlement plate}-09; \\
 & \text{Sc bacaan akhir } \textit{settlement plate} \\
 & \quad = -532 \text{ mm} \\
 & \textit{Settlement Final} \\
 & \quad = -878,9676 \text{ mm} \\
 & \text{Sisa } \textit{settlement} \\
 & \quad = \textit{settlement final} - \text{bacaan akhir } \textit{settlement} \\
 & \quad = (-878,9676) - (-532) \\
 & \quad = -346,9676 \text{ mm}
 \end{aligned}$$

Maka sisa *settlement* yang terjadi pada SP-09 adalah sebesar -346, 9676 mm dan sisa *settlement* yang terjadi pada SP-58 dan SP-70 dapat dilihat pada Tabel 5.

Tabel 5. Sisa settlement

<i>Settlement Plate</i>	Kumulatif <i>Settlement</i> Lapangan (mm)	Prediksi <i>Settlement Final</i> (mm)	Sisa <i>Settlement</i> (mm)
SP-09	-532	-878, 9676	-346, 9676
SP-58	-420	-836, 0392	-416, 0392
SP-70	-297	-471, 25	-174, 25

E. Analisis Derajat Konsolidasi Aktual

Dalam perhitungan ini digunakan data *settlement final* pada perhitungan sebelumnya dan data penurunan total bacaan akhir pada *settlement plate* di lapangan. Kemudian nilai derajat konsolidasi aktual dihitung dengan cara sebagai berikut:

$U_{\text{aktual}} \text{ SP-09}$

$$\begin{aligned} &= S_f / S_c \\ &= -532 / -878, 9676 \\ &= 60, 53\% \end{aligned}$$

Tabel 6. Rekap nilai *settlement final* dan derajat konsolidasi (U) aktual

<i>Settlement Plate</i>	Kumulatif <i>Settlement</i> Lapangan	Prediksi <i>Settlement Final</i> (mm)	Sisa <i>Settlement</i> (mm)	Derajat Konsolidasi Aktual
	Sct (mm)			$U\%$
SP-09	-532	-878, 9676	-346, 9678	60, 53%
SP-58	-420	-836, 0392	-416, 0392	50, 24%
SP-70	-297	-471, 25	-174, 25	63, 02%

F. Analisis Waktu Penurunan Konsolidasi tanpa Menggunakan PVD dan Menggunakan PVD

Waktu penurunan konsolidasi tanpa menggunakan PVD dan dengan menggunakan PVD dapat dihitung dengan menggunakan persamaan Barron (1948).

1. Perhitungan waktu penurunan konsolidasi dengan menggunakan PVD

a. Perhitungan faktor vertikal (T_v)

$$T_v = \frac{c_u \times t}{Hd r^2}$$

$$= \frac{0,329 \times 400}{10,5^2}$$

$$= \frac{131,6}{110,25} \\ = 1,19365$$

b. Perhitungan derajat konsolidasi (U_v)

$$a = (1,781 - T_v) / 0,933$$

$$= (1,781 - 1,19365) / 0,933$$

$$= -0,58735 / 0,933$$

$$= -0,629528403$$

Sehingga,

$$U_v = (100 - 10^a) \%$$

$$= (100 - 10^{-0,629528403}) \%$$

$$= 0,95739$$

c. Perhitungan faktor waktu horizontal (T_h)

$$de = 1,13 \times 1 = 1,13$$

$$\begin{aligned}
 Th &= \frac{Ch \times t}{de^2} \\
 &= \frac{0,0000019 \times 400}{1,13^2} \\
 &= \frac{0,0000048 \times 300}{1,2769} \\
 &= \frac{0,00076}{1,2769} \\
 &= 0,00060
 \end{aligned}$$

d. Perhitungan derajat konsolidasi horizontal (Uh)

$$\begin{aligned}
 n &= de / dw \\
 &= 1,13 / 0,067 \\
 &= 16,866 \\
 F_n &= \left(\frac{n^2}{(n^2-1)} \right) \cdot \ln(n) - \left(\frac{3n^3+1}{(4n^2)} \right) \\
 &= \left(\frac{16,866^2}{(16,866^2-1)} \right) \cdot \ln(16,866) - \left(\frac{(3 \times 16,866^3)-1}{(4 \times 16,866^2)} \right) \\
 &= \left(\frac{284,462}{283,462} \right) \cdot \ln(16,866) - \left(\frac{(3 \times 284,462)-1}{(4 \times 284,462)} \right) \\
 &= \left(\frac{284,462}{283,462} \right) \cdot \ln(16,866) - \left(\frac{852,386}{1137,848} \right) \\
 &= 1,0035 \ln(16,866) - (0,749) \\
 &= 9,767 - 0,749 \\
 &= 2,086
 \end{aligned}$$

Sehingga,

$$Uh = \left[1 - \left(\frac{1}{\frac{t \times 8 \times Ch}{dw^2 \cdot Fn}} \right) \right]$$

$$Uh = \left[1 - \left(\frac{1}{\frac{400 \times 8 \times 0,0000019}{2,7182818 \times 0,0672 \times 2,086}} \right) \right]$$

$$Uh = \left[1 - \left(\frac{1}{\frac{0,00608}{2,7182818 \times 0,00936}} \right) \right]$$

$$Uh = [1 - (0,52242)]$$

$$Uh = 0,47758$$

e. Perhitungan derajat konsolidasi (U)

$$U = [1 - (1 - Uh)(1 - Uv)]$$

$$U = [1 - (1 - 0,47758)(1 - 0,95739)]$$

$$U = 0,97774$$

f. Perhitungan besar penurunan (Sc)

$$Sc = U \times Scult$$

$$Sc = 0,97774 \times (-0,879)$$

$$Sc = -0,859 \text{ m}$$

Tabel 7. Perhitungan waktu penurunan konsolidasi SP-09

SP-09, EL Preload 7,389 m

t (hari)	Cv (m^2/hari)	Ch (m^2/hari)	Tv	Uv	Th	Uh	U	Sc (m)
423	0,329	0,0000019	1,26229	0,96403	0,00063	0,49673	0,98190	0,859
523	0,329	0,0000019	1,56070	0,98278	0,00078	0,57214	0,99263	0,871
623	0,329	0,0000019	1,85911	0,99175	0,00093	0,63624	0,99700	0,876
823	0,329	0,0000019	2,45594	0,99811	0,00122	0,73708	0,99950	0,879

2. Perhitungan waktu penurunan konsolidasi tanpa menggunakan PVD

a. Perhitungan faktor waktu vertikal (T_v)

$$\begin{aligned} T_v &= \frac{C_v \times t}{Hd r^2} \\ &= \frac{0,527 \times 400}{10,5^2} \\ &= \frac{210,8}{110,25} \\ &= 1,91202 \end{aligned}$$

b. Perhitungan derajat konsolidasi vertikal (U_v)

$$\begin{aligned} a &= (1,781 - T_v) / 0,933 \\ &= (1,781 - 1,91202) / 0,933 \\ &= -0,13102 / 0,933 \\ &= -0,1404287245 \\ \text{Sehingga, } U_v &= (100 - 10^a) \% \\ &= (100 - 10^{-0,1404287245}) \% \\ &= (100 - 0,72372) \% \\ &= 0,99276 \end{aligned}$$

c. Perhitungan besar penurunan (S_c)

$$\begin{aligned} S_c &= U \times S_{cult} \\ &= 0,99276 \times 0,836 \\ &= 0,830 \text{ m} \end{aligned}$$

Tabel 8. Perhitungan waktu penurunan konsolidasi SP-58

SP-58, EL Preload 5.758 m				
t (hari)	Cv (m².hari)	T_v	U_v	S_c (m)
400	0.527	1.91202	0.99276	0.830
500	0.527	2.39002	0.99778	0.834
600	0.527	2.86803	0.99932	0.835
1200	0.527	5.73605	1.00000	0.836

Tabel 9 Perhitungan waktu penurunan konsolidasi SP-70

SP-70, EL Preload 8 m				
t(hari)	Cv(m²/hari)	T_v	U_v	S_c (m)
412	0.861	3.12381	0.99356	0.463
512	0.861	3.90476	0.99571	0.464
612	0.861	4.68571	0.99785	0.465
1112	0.861	8.68419	1.00000	0.471

Dari hasil analisis waktu untuk mencapai konsolidasi dengan menggunakan PVD dan tanpa PVD dapat diketahui bahwa SP-09 memerlukan waktu sebesar 823 hari untuk mencapai penurunan akhir, SP-58 memerlukan waktu sebesar 1200 hari dan SP-70 memerlukan waktu sebesar 1112 hari. Dari hasil analisis diatas dapat pula diketahui bahwa penggunaan PVD berpengaruh terhadap waktu untuk mencapai konsolidasi, dimana waktu yang diperlukan untuk mencapai konsolidasi dengan menggunakan PVD lebih sedikit dibandingkan tanpa menggunakan PVD.

PVD ini memberikan lintasan air pori yang lebih pendek ke arah horizontal.

Jarak drainase arah horizontal yang lebih pendek menambah kecepatan proses konsolidasi beberapa kali lebih cepat. Disamping itu, permeabilitas tanah kearah horizontal yang beberapa kali lebih besar, juga mempercepat laju proses konsolidasi. Berat timbunan yang dibangun diatas PVD menyebabkan tanah yang lunak mampat. Mampatnya tanah adalah akibat dari air yang dipaksa mengalir ke

atas lateral (horizontal) ke PVD. Dari sini, air mengalir ke atas, menuju lapisan air yang diletakkan pada dasar tanah timbunan. Bila beban bertambah besar, maka kecepatan konsolidasi akan bertambah pula.



BAB V

PENUTUP

A. Kesimpulan

Berdasarkan analisa data dan pembahasan dapat ditarik kesimpulan sebagai berikut:

1. Besarnya waktu tercepat yang dibutuhkan terjadinya konsolidasi dengan menggunakan metode Asaoka pada pembacaan penurunan tanah aplikasi geoteknik *settlement plate* pembangunan Makassar New port adalah sebesar 823 hari.
2. Penggunaan PVD berpengaruh terhadap waktu terjadinya konsolidasi dimana waktu yang diperlukan untuk mencapai derajat konsolidasi dengan menggunakan PVD lebih sedikit yaitu 823 hari dibandingkan tanpa menggunakan PVD yang membutuhkan waktu 1112 hari.

B. Saran

1. Dalam menganalisis nilai penurunan akhir (final), perlu diperhatikan dalam pengambilan data *settlement* penurunan total agar hasil penurunan akhir (final) yang didapatkan tidak keliru dan sesuai dengan kondisi yang ada dilapangan.
2. Perlu dilakukan studi lanjutan untuk mengetahui perbandingan antara penggunaan kombinasi *preloading* tanpa PVD dengan *preloading* menggunakan PVD dalam mempercepat waktu terjadinya konsolidasi.

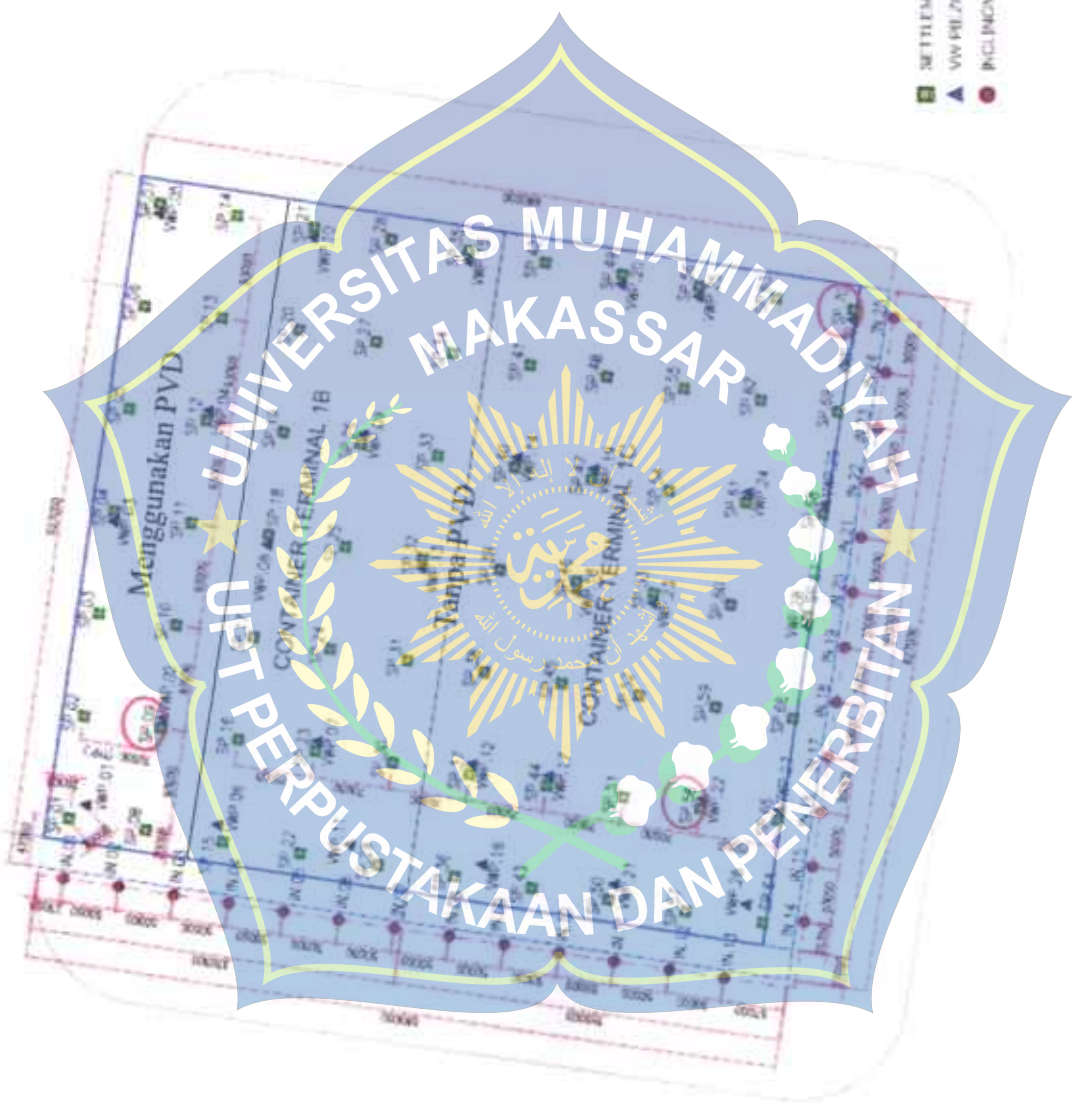
DAFTAR PUSTAKA

- Ana Crosita Ningsih. 2018. *Perencanaan Perbaikan Tanah Lunak Menggunakan Metode Preloading dan Prefabricated vertical drain (PVD)*. Tugas Akhir S1, Program Studi Teknik Sipil Fakultas Teknik Universitas Jember.
- Andryan Suhendra. 2013. *Aplikasi Produk Geosintetik Untuk Pekerjaan Reklamasi Pantai*. Dalam Jurnal Teknik Vol. 4, No. 2, Hal. 765 – 766.
- Asaoka, A. 1978. *Observational Procedure of Settlement Prediction Soil and Foundation*. No 4.
- Barron, R. A. (1948). *Consolidation of Fine-Grained Soils by Drain Wells*. Transactions of ASCE, Vol. 113.
- Craig, R. F. 2004. *Mekanika Tanah Edisi 7*. Newyork.
- Das, M Braja, dkk. 1994. *Mekanika Tanah II (Prinsip-Prinsip Rekayasa Geoteknis)* Jilid 1 dan 2, Erlangga. Jakarta.
- Das, M Braja, (Translated by Mochtar, N. E and Mochtar I. B), 1988. *Mekanika Tanah (Prinsip-Prinsip Rekayasa Geoteknis)* jilid 1. Erlangga. Jakarta.
- Hary Christady Hardiyatmo, M. Eng. DEA. 2001. *Mekanika Tanah*. Yogyakarta
- Fachry Ibrahim, Gregorius Sandjaja S dan Aksan Kawanda. 2019. *Studi Kasus Perbandingan Analisis Pemiruman Akibat Timbunan di Tanggerang Banten*. Dalam Jurnal Teknik Sipil. Vol 2, No 2, Hal 85-94.
- Fanny Rumintha Br. Baimbang. 2017. *Analisis Penurunan dan Waktu Konsolidasi Tanah Lunak Menggunakan Metode Preloading dan Prefabricated Vertical Drain*. Tugas Akhir S1, Departemen Teknik Sipil, Fakultas Teknik, Universitas Sumatra Utara.
- Fery, Eka Priadi, Aprianto. 2013. *Studi Pemadatan Tanah Timbunan Reklamasi Pelabuhan Kendawang Kabupaten Ketapang*. Dalam Jurnal Teknik Sipil Vol. 2, No. 2, Hal 1.
- Gulhati, Shaskhi K. 2005. "Geotechnical Engineering". Tata McGraw Hill Publishing Company Limittied, New Delhi.
- Hardiyatmo, H. C. 2002. *Mekanika Tanah I Edisi Ketiga*. Gadjah Mada. Universitas Press, Yogyakarta.
- Hasbullah Nawir, Dayu Apoji, Rahmatyar Fatimatuzahro, M. Dwi Pamudji. 2012. *Prediksi Penurunan Tanah Menggunakan Prosedur Observasi Asaoka*

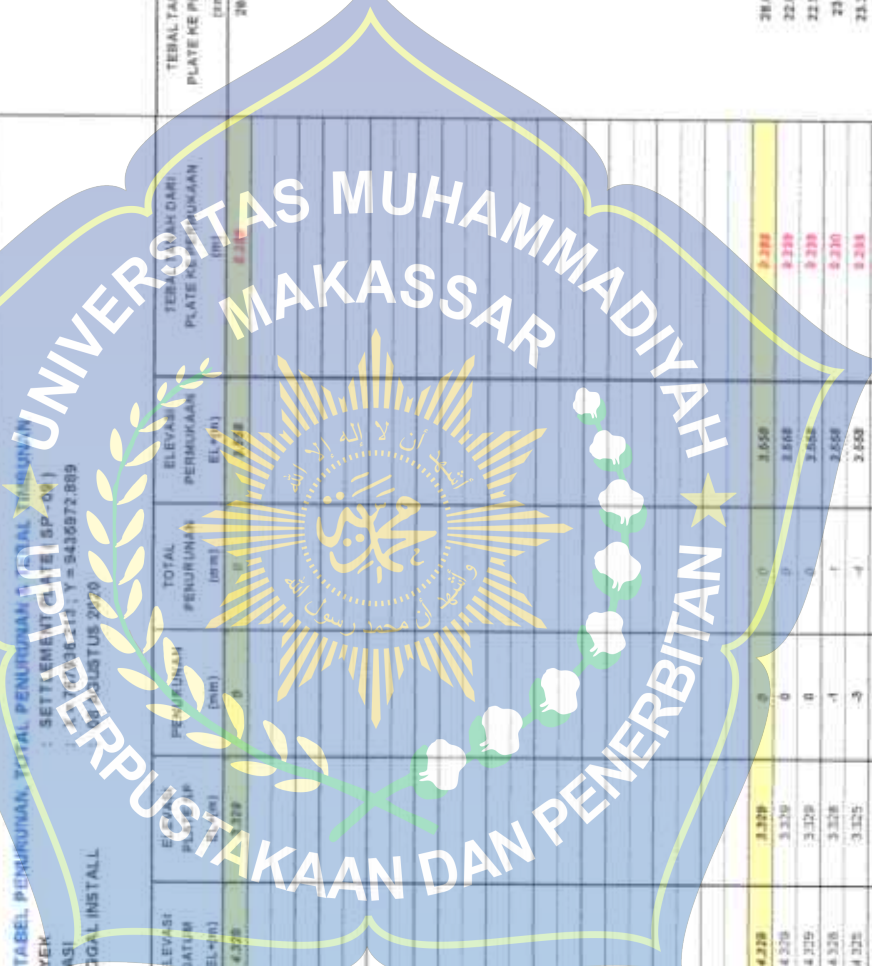
- Studi Kasus: Timbunan di Bontang, Kalimantan Timur.* Dalam Jurnal Teknik Sipil Vol. 19, No. 2, Hal 140, 141, 143. ISSN 0853-2982.
- Hausmann, M. R. 1990. *Engineering Principles Of Ground Modification*, M, Graw – Hill.
- Heny Susiazti, Masayu Widiastuti, Rusfina Widayati. 2020. *Analisis Penurunan Konsolidasi Metode Preloading dan Prefabricated Vertical Drain (PVD)*. Dalam Jurnal Teknologi Sipil. Vol 4, No 1.
- Jeremy Natama Manhuruk. 2019. *Evaluasi Derajat Konsolidasi Timbunan Menggunakan Preloading dan PVD dengan Metode Asaoka*. Tugas Akhir S1, Program Studi Geoteknik Departemen Teknik Sipil Fakultas Teknik Universitas Sumatera Utara.
- Johnson. 1970. *Mekanika dan Fisika Pada dan Volume* Dalam Jurnal. Vol 18, No 2, Hal 115-126.
- Kharisma Dewi, Eka Priadi, Ahmad Faisal. 2020. *Analisis Konsolidasi Tanah Lunak Akibat Pekerjaan PVD-PHD Area Runway Bandara Supadio*. Dalam Jurnal. Vol 7, No 3.
- Magnan I. P and Deroy S. M. 1980. *Analyse Graphique Das Tassements Observés Sous Les Ouvrages*. Bull. Liaison Labo. P & ch, 109.
- Mikasa, M. 1963. *Consolidation Of Soft Clay*. Kajima Shuppin-Kai, Tokyo.
- Richard Olden, Balambra S. 2015. *Pengaruh Jenis Tanah Terhadap Kestabilan Struktur Embankment di Daerah Reklamasi (Studi Kasus: Melalayang)*. Dalam Jurnal Teknik Sipil.
- Robert F. Craig. Terjemahan Oleh Budi Susilo. S. 1994. *Mekanika Tanah*. Erlangga. Jakarta.
- Stamatopoulos A. C, Kotzias P. C. 1985. *Sol Improvement by Preloading*. John Wiley & Sons, 261 Pages.
- Whittaker D. N dan Reddish D. J. 1989. *Kejadian Subsidensi, Prediksi dan Kontrol*. DME Univ of Nottingham, Elsiver, New York.
- Zahra Febrina Lilabsari. 2017. *Evaluasi Kinerja Perbaikan Tanah Lunak Menggunakan Instrumen Geoteknik Pada Pembangunan Kawasan Kota Summarecon Bandung Area Cluster Amanda dan Btari dengan Penggunaan Preloading dan Prefabricated vertical drain (PVD)*. Dalam Jurnal Teknik Sipil.











 <p>PT PEMBANGUNAN NEGERI MAKASSAR</p>	 <p>SUMBER DAYA</p>
 <p>PROYEK PEMERINTAH</p>	 <p>PROYEK PENGEMBANGAN</p>
 <p>PEMBANGUNAN MAKASSAR NEW PORT TAHAP 1B & 1C</p>	 <p>MAKASSAR - SULAWESI SELATAN</p>
 <p>PERENCANAAN</p>	 <p>MONITORING SETTLEMENT PLATE</p>

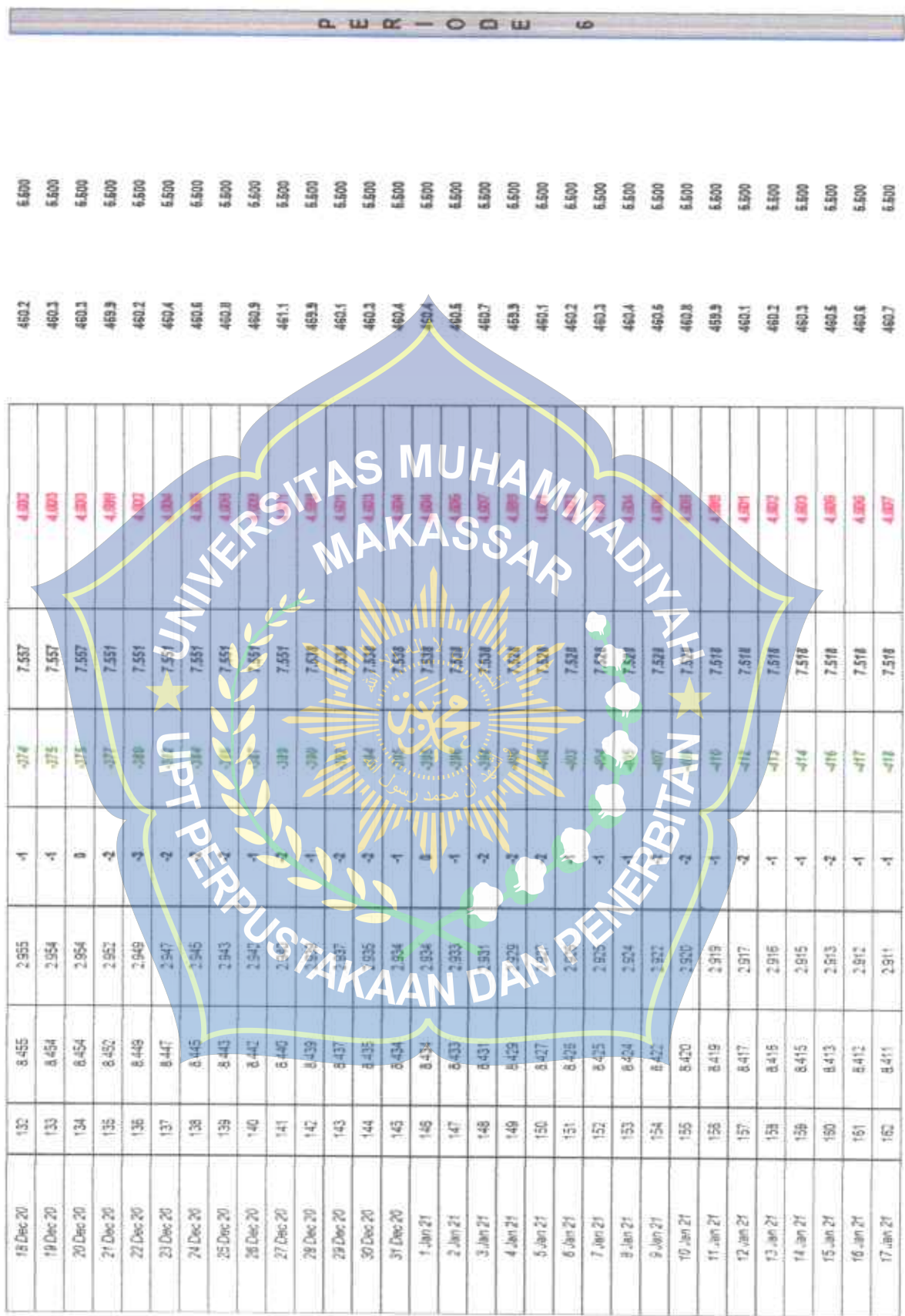
18 Aug 20	10	4.313	3.311	-4	-41	2.512	0.000	22	1.000
19 Aug 20	11	4.312	3.312	-4	-47	1.531	0.201	22.1	1.000
20 Aug 20	12	4.312	3.312	0	-47	2.531	0.371	22.1	1.000
21 Aug 20	13	4.311	3.311	-4	-48	2.531	0.392	22.1	1.000
22 Aug 20	14	4.306	3.306	-4	-41	2.531	0.395	22.6	1.000
23 Aug 20	15	4.305	3.305	-4	-40	2.513	0.398	22.8	1.000
24 Aug 20	16	4.301	3.301	-4	-40	2.513	0.401	23.3	1.000
25 Aug 20	17	4.298	3.296	-2	-40	2.513	0.401	23.1	1.000
26 Aug 20	18	4.297	3.297	-2	-40	2.513	0.401	22.2	1.000
27 Aug 20	19	4.296	3.296	-2	-42	2.519	0.402	22.3	1.000
28 Aug 20	20	4.295	3.295	-2	-42	2.519	0.402	22.3	1.000
29 Aug 20	21	4.294	3.294	-2	-42	2.519	0.402	22.4	1.000
30 Aug 20	22	4.293	3.293	-2	-42	2.519	0.402	22.6	1.000
31 Aug 20	23	4.292	3.292	-1	-42	2.501	0.403	22.4	1.000
1 Sep 20	24	4.291	3.290	-2	-42	2.501	0.403	21.4	1.000
2 Sep 20	25	4.290	3.289	-2	-42	2.501	0.403	21.2	1.000
3 Sep 20	26	4.289	3.288	-1	-42	2.501	0.403	21.3	1.000
4 Sep 20	27	4.287	3.287	-1	-42	2.501	0.403	21.4	1.000
5 Sep 20	28	4.285	3.285	-1	-42	2.501	0.403	21.5	1.000
6 Sep 20	29	4.284	3.284	-1	-45	2.501	0.403	21.7	1.000
7 Sep 20	30	4.284	3.284	-1	-45	2.481	0.404	20.6	1.000
8 Sep 20	31	4.284	3.284	-1	-45	2.479	0.404	20.7	1.000
9 Sep 20	32	4.283	3.283	-1	-46	2.463	0.404	20.6	1.000
10 Sep 20	33	4.282	3.282	-1	-47	2.463	0.404	20.7	1.000
11 Sep 20	34	4.282	3.282	-1	-48	2.463	0.404	20.7	1.000
12 Sep 20	35	4.282	3.282	-1	-48	2.463	0.404	20.5	1.000
13 Sep 20	36	4.282	3.282	-1	-47	2.463	0.404	20.7	1.000
14 Sep 20	37	4.281	3.281	-1	-48	2.466	0.405	20.5	1.000
15 Sep 20	38	4.281	3.281	-1	-48	2.466	0.405	20.5	1.000
16 Sep 20	39	4.280	3.280	-1	-49	2.469	0.405	24.1	1.000
17 Sep 20	40	4.281	3.281	-1	-49	2.469	0.405	24.3	1.000

18 Sep 20	41	6.257	1.257	4	+72	5.510			2163	2163
19 Sep 20	42	6.255	1.255	2	-4	5.510			2165	2165
20 Sep 20	43	6.254	1.254	-1	+75	5.510			2166	2166
21 Sep 20	44	6.254	1.254	0	+15	5.510			2167	2167
22 Sep 20	45	6.254	1.254	0	+15	5.510			2168	2168
23 Sep 20	46	6.254	1.254	0	+15	5.510			2169	2169
24 Sep 20	47	6.254	1.254	0	+15	5.510			2170	2170
25 Sep 20	48	6.254	1.254	0	+15	5.510			2171	2171
26 Sep 20	49	6.252	1.252	2	-70	5.510			2172	2172
27 Sep 20	50	6.251	1.251	-1	+70	5.510			2173	2173
28 Sep 20	51	6.251	1.251	-1	+70	5.510			2174	2174
29 Sep 20	52	6.250	1.250	-1	+70	5.510			2175	2175
30 Sep 20	53	6.250	1.250	-1	+70	5.510			2176	2176
1 Oct 20	54	6.249	1.249	-1	+70	5.510			2177	2177
2 Oct 20	55	6.248	1.248	-1	+70	5.510			2178	2178
3 Oct 20	56	6.247	1.247	-1	+70	5.510			2179	2179
4 Oct 20	57	6.246	1.246	-1	+70	5.510			2180	2180
5 Oct 20	58	6.234	1.234	-2	+70	5.510			2181	2181
6 Oct 20	59	6.227	1.227	-1	+70	5.510			2182	2182
7 Oct 20	60	6.223	1.223	-1	+70	5.510			2183	2183
8 Oct 20	61	6.221	1.221	-2	+70	5.510			2184	2184
9 Oct 20	62	6.220	1.220	-1	+70	5.510			2185	2185
10 Oct 20	63	6.219	1.219	-1	+70	5.510			2186	2186
11 Oct 20	64	6.215	1.215	-4	+70	5.510			2187	2187
12 Oct 20	65	6.216	1.216	-3	+70	5.510			2188	2188
13 Oct 20	66	6.214	1.214	-2	+70	5.510			2189	2189
14 Oct 20	67	6.215	1.215	-4	+70	5.510			2190	2190
15 Oct 20	68	6.206	1.206	-10	+70	5.510			2191	2191
16 Oct 20	69	6.204	1.204	-10	+70	5.510			2192	2192
17 Oct 20	70	6.208	1.208	-4	+70	5.510			2193	2193

P E R I O D E 4

18 Oct 20	71	8585	3.095	-3	0.04	0.075	4.091	4.49
19 Oct 20	74	8584	3.084	-4	-0.05	0.035	4.061	4.061
20 Oct 20	73	8580	3.080	-4	-0.04	0.035	4.086	4.086
21 Oct 20	74	8576	3.076	-4	-0.03	0.035	4.069	4.069
22 Oct 20	75	8573	3.073	-3	-0.03	0.035	4.072	4.072
23 Oct 20	76	8570	3.070	-2	-0.02	0.035	4.083	4.083
24 Oct 20	77	8567	3.067	-2	-0.02	0.035	4.084	4.084
25 Oct 20	78	8565	3.065	-2	-0.02	0.035	4.070	4.070
26 Oct 20	79	8562	3.062	-2	-0.02	0.035	4.069	4.069
27 Oct 20	80	8559	3.060	-2	-0.02	0.035	4.068	4.068
28 Oct 20	81	8557	3.057	-2	-0.02	0.035	4.067	4.067
29 Oct 20	82	8554	3.054	-2	-0.02	0.035	4.066	4.066
30 Oct 20	83	8550	3.050	-2	-0.02	0.035	4.065	4.065
31 Oct 20	84	8546	3.046	-2	-0.02	0.035	4.064	4.064
1 Nov 20	85	8543	3.043	-2	-0.02	0.035	4.063	4.063
2 Nov 20	86	8541	3.041	-2	-0.02	0.035	4.062	4.062
3 Nov 20	87	8538	3.038	-2	-0.02	0.035	4.061	4.061
4 Nov 20	88	8535	3.035	-2	-0.02	0.035	4.060	4.060
5 Nov 20	89	8531	3.031	-2	-0.02	0.035	4.059	4.059
6 Nov 20	90	8529	3.029	-2	-0.02	0.035	4.058	4.058
7 Nov 20	91	8527	3.027	-2	-0.02	0.035	4.057	4.057
8 Nov 20	92	8525	3.025	-2	-0.02	0.035	4.056	4.056
9 Nov 20	93	8522	3.022	-2	-0.02	0.035	4.055	4.055
10 Nov 20	94	8519	3.019	-2	-0.02	0.035	4.054	4.054
11 Nov 20	95	8516	3.016	-2	-0.02	0.035	4.053	4.053
12 Nov 20	96	8514	3.014	-2	-0.02	0.035	4.052	4.052
13 Nov 20	97	8514	3.014	0	-0.01	0.035	4.051	4.051
14 Nov 20	98	8513	3.013	-1	-0.01	0.035	4.050	4.050
15 Nov 20	99	8510	3.010	-5	-0.01	0.035	4.049	4.049
16 Nov 20	100	8509	3.009	-4	-0.01	0.035	4.047	4.047
17 Nov 20	101	8507	3.007	-2	-0.01	0.035	4.047	4.047

	P	E	R	I	O	D	E	S
18 Nov 20	102	8505	3.005	3	-214	7.012	4.077	4.077
19 Nov 20	103	8504	3.004	4	-225	7.012	4.078	4.078
20 Nov 20	104	3503	3.003	4	-234	7.012	4.079	4.079
21 Nov 20	105	8501	3.001	2	-314	7.012	4.079	4.079
22 Nov 20	106	8499	2.999	2	-333	7.012	4.081	4.081
23 Nov 20	107	8497	2.997	2	-352	7.012	4.082	4.082
24 Nov 20	108	8494	2.994	2	-371	7.012	4.083	4.083
25 Nov 20	109	8491	2.991	1	-390	7.013	4.084	4.084
26 Nov 20	110	8489	2.989	2	-409	7.013	4.085	4.085
27 Nov 20	111	8486	2.986	2	-428	7.013	4.086	4.086
28 Nov 20	112	8484	2.984	2	-447	7.013	4.087	4.087
29 Nov 20	113	8482	2.982	4	-466	7.013	4.088	4.088
30 Nov 20	114	8481	2.981	4	-485	7.013	4.089	4.089
1 Dec 20	115	8480	2.980	2	-504	7.015	4.090	4.090
2 Dec 20	116	8478	2.978	2	-523	7.015	4.091	4.091
3 Dec 20	117	8477	2.977	4	-542	7.015	4.092	4.092
4 Dec 20	118	8475	2.975	2	-561	7.015	4.093	4.093
5 Dec 20	119	8473	2.973	2	-580	7.016	4.094	4.094
6 Dec 20	120	8472	2.972	4	-599	7.016	4.095	4.095
7 Dec 20	121	8470	2.970	2	-618	7.016	4.096	4.096
8 Dec 20	122	8468	2.968	2	-637	7.016	4.097	4.097
9 Dec 20	123	8466	2.966	2	-656	7.016	4.098	4.098
10 Dec 20	124	8465	2.965	1	-675	7.016	4.099	4.099
11 Dec 20	125	8464	2.964	1	-694	7.016	4.100	4.100
12 Dec 20	126	8463	2.963	1	-713	7.016	4.101	4.101
13 Dec 20	127	8462	2.962	1	-732	7.016	4.102	4.102
14 Dec 20	128	8460	2.960	2	-751	7.016	4.103	4.103
15 Dec 20	129	8458	2.958	2	-770	7.017	4.104	4.104
16 Dec 20	130	8457	2.957	1	-789	7.017	4.105	4.105
17 Dec 20	131	8456	2.956	1	-808	7.017	4.106	4.106



The graph illustrates the fluctuation of rice prices over a two-month period. The x-axis represents dates from February 18 to April 17, 2021. The y-axis represents price in Indonesian Rupiah (Rp). The data shows a general upward trend peaking in mid-March before a slight decline towards the end of the period.

Tanggal	Harga (Rp)
18 Feb '21	4.905
19 Feb '21	4.906
20 Feb '21	4.906
21 Feb '21	4.906
22 Feb '21	4.907
23 Feb '21	4.907
24 Feb '21	4.908
25 Feb '21	4.908
26 Feb '21	4.909
27 Feb '21	4.910
28 Feb '21	4.910
1 Mar '21	4.911
2 Mar '21	4.911
3 Mar '21	4.912
4 Mar '21	4.912
5 Mar '21	4.912
6 Mar '21	4.913
7 Mar '21	4.913
8 Mar '21	4.913
9 Mar '21	4.913
10 Mar '21	4.914
11 Mar '21	4.914
12 Mar '21	4.915
13 Mar '21	4.915
14 Mar '21	4.915
15 Mar '21	4.915
16 Mar '21	4.915
17 Mar '21	4.915
18 Mar '21	4.916
19 Mar '21	4.916
20 Mar '21	4.916
21 Mar '21	4.916
22 Mar '21	4.916
23 Mar '21	4.916
24 Mar '21	4.916
25 Mar '21	4.916
26 Mar '21	4.916
27 Mar '21	4.916
28 Mar '21	4.916
29 Mar '21	4.916
30 Mar '21	4.916
31 Mar '21	4.916
1 Apr '21	4.916
2 Apr '21	4.916
3 Apr '21	4.916
4 Apr '21	4.916
5 Apr '21	4.916
6 Apr '21	4.916
7 Apr '21	4.916
8 Apr '21	4.916
9 Apr '21	4.916
10 Apr '21	4.916
11 Apr '21	4.916
12 Apr '21	4.916
13 Apr '21	4.916
14 Apr '21	4.916
15 Apr '21	4.916
16 Apr '21	4.916
17 Apr '21	4.916

18 Mar' 21	277	6.329	1.839	4	-494	7.471	487.2
19 Mar' 21	273	6.338	1.838	4	-671	7.471	487.3
20 Mar' 21	274	6.338	1.833	0	-411	7.471	487.3
21 Mar' 21	275	6.338	1.833	0	-411	7.471	487.3
22 Mar' 21	276	6.337	1.837	4	-822	7.471	487.0
23 Mar' 21	277	6.336	1.835	4	-822	7.471	487.0
24 Mar' 21	278	6.335	1.835	4	-822	7.471	487.0
25 Mar' 21	279	6.334	1.834	4	-822	7.471	487.1
26 Mar' 21	280	6.333	1.833	4	-822	7.471	487.1
27 Mar' 21	281	6.333	1.833	4	-822	7.471	487.1
28 Mar' 21	282	6.331	1.831	4	-822	7.471	487.1
29 Mar' 21	283	6.330	1.830	4	-822	7.471	487.1
30 Mar' 21	284	6.329	1.829	4	-822	7.471	487.2
31 Mar' 21	285	6.326	1.826	4	-822	7.471	487.2
1 Apr' 21	286	6.327	1.827	4	-822	7.471	487.2
2 Apr' 21	287	6.325	1.825	4	-822	7.471	487.2
3 Apr' 21	288	6.323	1.823	4	-822	7.471	487.2
4 Apr' 21	289	6.321	1.821	4	-822	7.471	487.2
5 Apr' 21	290	6.320	1.820	4	-822	7.471	487.2
6 Apr' 21	291	6.319	1.818	4	-503	7.465	487.2
7 Apr' 21	292	6.317	1.817	4	-503	7.465	487.2
8 Apr' 21	293	6.316	1.816	4	-503	7.465	487.2
9 Apr' 21	294	6.315	1.815	4	-503	7.465	487.2
10 Apr' 21	295	6.314	1.814	4	-503	7.465	487.2
11 Apr' 21	296	6.313	1.813	4	-503	7.465	487.2
12 Apr' 21	297	6.312	1.812	4	-503	7.465	487.2
13 Apr' 21	298	6.311	1.811	4	-503	7.465	487.2
14 Apr' 21	299	6.310	1.810	4	-503	7.465	487.2
15 Apr' 21	300	6.309	1.809	4	-503	7.465	487.2
16 Apr' 21	301	6.308	1.808	4	-503	7.465	487.2
17 Apr' 21	302	6.307	1.807	4	-522	7.459	487.2

P E R I O D E 1 0

18 Apr 21	253	8.305	2.905	-2	-24	7.459	4554
19 Apr 21	254	8.304	2.904	-1	-25	7.458	4554
20 Apr 21	255	8.303	2.903	-1	-26	7.458	4554
21 Apr 21	256	8.301	2.901	-2	-27	7.457	4555
22 Apr 21	257	8.300	2.900	-1	-28	7.456	4555
23 Apr 21	258	8.299	2.909	-1	-29	7.456	4555
24 Apr 21	259	8.298	2.908	-2	-30	7.456	4555
25 Apr 21	160	8.297	2.907	-1	-31	7.454	4556
26 Apr 21	261	8.295	2.905	-1	-32	7.452	4556
27 Apr 21	262	8.294	2.904	-2	-33	7.450	4556
28 Apr 21	263	8.292	2.902	-1	-34	7.449	4555
29 Apr 21	264	8.290	2.900	-2	-35	7.449	4555
30 Apr 21	265	8.289	2.899	-1	-36	7.448	4555
1 May 21	266	8.288	2.898	-2	-37	7.447	4555
2 May 21	267	8.287	2.897	-1	-38	7.446	4555
3 May 21	268	8.287	2.897	0	-39	7.446	4555
4 May 21	269	8.286	2.896	-1	-40	7.445	4555
5 May 21	270	8.285	2.895	-1	-41	7.444	4555
6 May 21	271	8.284	2.894	-1	-42	7.444	4555
7 May 21	272	8.284	2.894	-1	-43	7.444	4555
8 May 21	273	8.284	2.894	-1	-44	7.444	4555
9 May 21	274	8.284	2.894	-1	-45	7.444	4555
10 May 21	275	8.283	2.893	-1	-46	7.444	4555
11 May 21	276	8.283	2.893	-2	-47	7.444	4555
12 May 21	277	8.282	2.892	-1	-48	7.443	4555
13 May 21	278	8.282	2.892	-1	-49	7.443	4555
14 May 21	279	8.281	2.891	-2	-50	7.442	4555
15 May 21	280	8.278	2.898	-1	-51	7.442	4555
16 May 21	281	8.275	2.776	-2	-52	7.442	4555
17 May 21	282	8.274	2.774	-2	-53	7.442	4555

				P	E	R	I	O	D	E	1	1
16 May'21	233	8.272	2.772	-2	-657	7.441	4.603	465.9	1.503	4.603	4.603	4.603
19 May'21	284	8.271	2.771	-1	-650	7.440	4.601	465.9	1.503	4.601	4.601	4.601
20 May'21	295	8.270	2.770	-1	-653	7.439	4.600	465.8	1.502	4.600	4.600	4.600
21 May'21	286	8.269	2.769	-1	-652	7.438	4.602	465.9	1.503	4.602	4.602	4.602
22 May'21	287	8.268	2.768	-1	-651	7.436	4.600	465.8	1.502	4.600	4.600	4.600
23 May'21	288	8.267	2.767	-1	-652	7.435	4.603	465.9	1.503	4.603	4.603	4.603
24 May'21	289	8.265	2.765	-1	-651	7.431	4.604	466.6	1.503	4.604	4.604	4.603
25 May'21	290	8.264	2.764	-1	-652	7.433	4.607	465.7	1.502	4.607	4.607	4.607
26 May'21	291	8.263	2.763	-1	-653	7.432	4.608	466.8	1.502	4.608	4.608	4.608
27 May'21	292	8.263	2.763	-1	-652	7.431	4.609	466.8	1.502	4.609	4.609	4.609
28 May'21	293	8.262	2.762	-1	-651	7.431	4.608	466.8	1.502	4.608	4.608	4.608
29 May'21	294	8.262	2.762	0	-651	7.431	4.608	466.8	1.502	4.608	4.608	4.608
30 May'21	295	8.261	2.761	-1	-652	7.431	4.609	467.1	1.502	4.609	4.609	4.609
31 May'21	296	8.260	2.760	-1	-651	7.431	4.607	467.1	1.502	4.607	4.607	4.607
1 Jun'21	297	8.255	2.759	-2	-651	7.422	4.604	466.4	1.502	4.604	4.604	4.604
2 Jun'21	298	8.257	2.757	-1	-651	7.422	4.605	466.5	1.502	4.605	4.605	4.605
3 Jun'21	299	8.256	2.756	-1	-652	7.421	4.605	466.5	1.502	4.605	4.605	4.605
4 Jun'21	300	8.253	2.755	-1	-652	7.421	4.606	466.5	1.502	4.606	4.606	4.606
5 Jun'21	301	8.255	2.755	-1	-651	7.421	4.606	466.5	1.502	4.606	4.606	4.606
6 Jun'21	302	8.255	2.755	-1	-654	7.421	4.606	466.5	1.502	4.606	4.606	4.606
7 Jun'21	303	8.254	2.754	-1	-654	7.419	4.606	466.5	1.502	4.606	4.606	4.606
8 Jun'21	304	8.253	2.753	-1	-653	7.419	4.606	466.5	1.502	4.606	4.606	4.606
9 Jun'21	305	8.252	2.752	-1	-654	7.417	4.606	466.5	1.502	4.606	4.606	4.606
10 Jun'21	306	8.250	2.750	-1	-654	7.417	4.606	466.5	1.502	4.606	4.606	4.606
11 Jun'21	307	8.249	2.749	-1	-653	7.416	4.606	466.5	1.502	4.606	4.606	4.606
12 Jun'21	308	8.248	2.748	-1	-651	7.415	4.607	466.7	1.502	4.607	4.607	4.607
13 Jun'21	309	8.247	2.747	-1	-652	7.414	4.607	466.7	1.502	4.607	4.607	4.607
14 Jun'21	310	8.246	2.746	-1	-651	7.413	4.607	466.7	1.502	4.607	4.607	4.607
15 Jun'21	311	8.245	2.745	-1	-654	7.413	4.606	466.6	1.502	4.606	4.606	4.606
16 Jun'21	312	8.244	2.744	-1	-653	7.412	4.606	466.6	1.502	4.606	4.606	4.606
17 Jun'21	313	8.242	2.742	-2	-657	7.412	4.607	466.7	1.502	4.607	4.607	4.607

PERIODE

18 Jun 21	314	8.240	2.740	-2	-101	7.411	4.671	5.450
19 Jun 21	315	8.239	2.739	-1	-100	7.410	4.671	5.350
20 Jun 21	316	8.238	2.738	-1	-99	7.410	4.671	5.250
21 Jun 21	317	8.238	2.738	0	-98	7.410	4.671	5.150
22 Jun 21	318	8.236	2.736	-2	-95	7.403	4.671	5.050
23 Jun 21	319	8.234	2.734	-2	-95	7.403	4.671	5.000
24 Jun 21	320	8.233	2.733	-1	-95	7.407	4.671	4.900
25 Jun 21	321	8.231	2.732	-1	-94	7.404	4.671	4.800
26 Jun 21	322	8.230	2.730	-1	-94	7.405	4.671	4.700
27 Jun 21	323	8.229	2.729	-1	-94	7.406	4.671	4.600
28 Jun 21	324	8.229	2.729	-1	-94	7.406	4.671	4.500
29 Jun 21	325	8.228	2.728	-1	-94	7.406	4.671	4.400
30 Jun 21	326	8.228	2.728	-1	-94	7.406	4.671	4.300
1 Jul 21	327	8.227	2.727	-1	-94	7.407	4.671	4.200
2 Jul 21	328	8.226	2.726	-1	-94	7.407	4.671	4.100
3 Jul 21	329	8.225	2.725	-1	-94	7.407	4.671	4.000
4 Jul 21	330	8.224	2.724	-1	-94	7.407	4.671	3.900
5 Jul 21	331	8.223	2.723	-1	-94	7.407	4.671	3.800
6 Jul 21	332	8.222	2.722	-1	-94	7.406	4.671	3.700
7 Jul 21	333	8.221	2.721	-1	-94	7.406	4.671	3.600
8 Jul 21	334	8.220	2.720	-1	-94	7.406	4.671	3.500
9 Jul 21	335	8.219	2.719	-1	-94	7.406	4.671	3.400
10 Jul 21	336	8.219	2.719	-1	-94	7.406	4.671	3.300
11 Jul 21	337	8.219	2.719	-1	-94	7.406	4.671	3.200
12 Jul 21	338	8.218	2.718	-1	-94	7.406	4.671	3.100
13 Jul 21	339	8.217	2.717	-1	-94	7.406	4.671	3.000
14 Jul 21	340	8.217	2.717	-1	-94	7.407	4.671	2.900
15 Jul 21	341	8.216	2.716	-1	-94	7.406	4.671	2.800
16 Jul 21	342	8.216	2.716	-1	-94	7.406	4.671	2.700
17 Jul 21	343	8.215	2.715	-1	-94	7.406	4.671	2.600
18 Jul 21	344	8.214	2.714	-1	-95	7.404	4.661	2.500
19 Jul 21	345	8.213	2.713	-1	-95	7.403	4.661	2.500
20 Jul 21	346	8.212	2.712	-1	-95	7.403	4.661	2.500
21 Jul 21	347	8.211	2.711	-1	-95	7.402	4.661	2.500
22 Jul 21	348	8.210	2.710	-1	-95	7.402	4.661	2.500
23 Jul 21	349	8.209	2.709	-1	-95	7.401	4.661	2.500
24 Jul 21	350	8.208	2.708	-1	-95	7.401	4.661	2.500
25 Jul 21	351	8.207	2.707	-1	-95	7.400	4.661	2.500



TABEL PENURUNAN TOTAL PENURUNAN & TEBAL TIMBUNAN

SETTLEMENT AGREEMENT

SEI ELEMENT PLATE (SP = 30)

X = 767853.050 ; Y = 9436480.382

98 SEPTEMBER 10 20

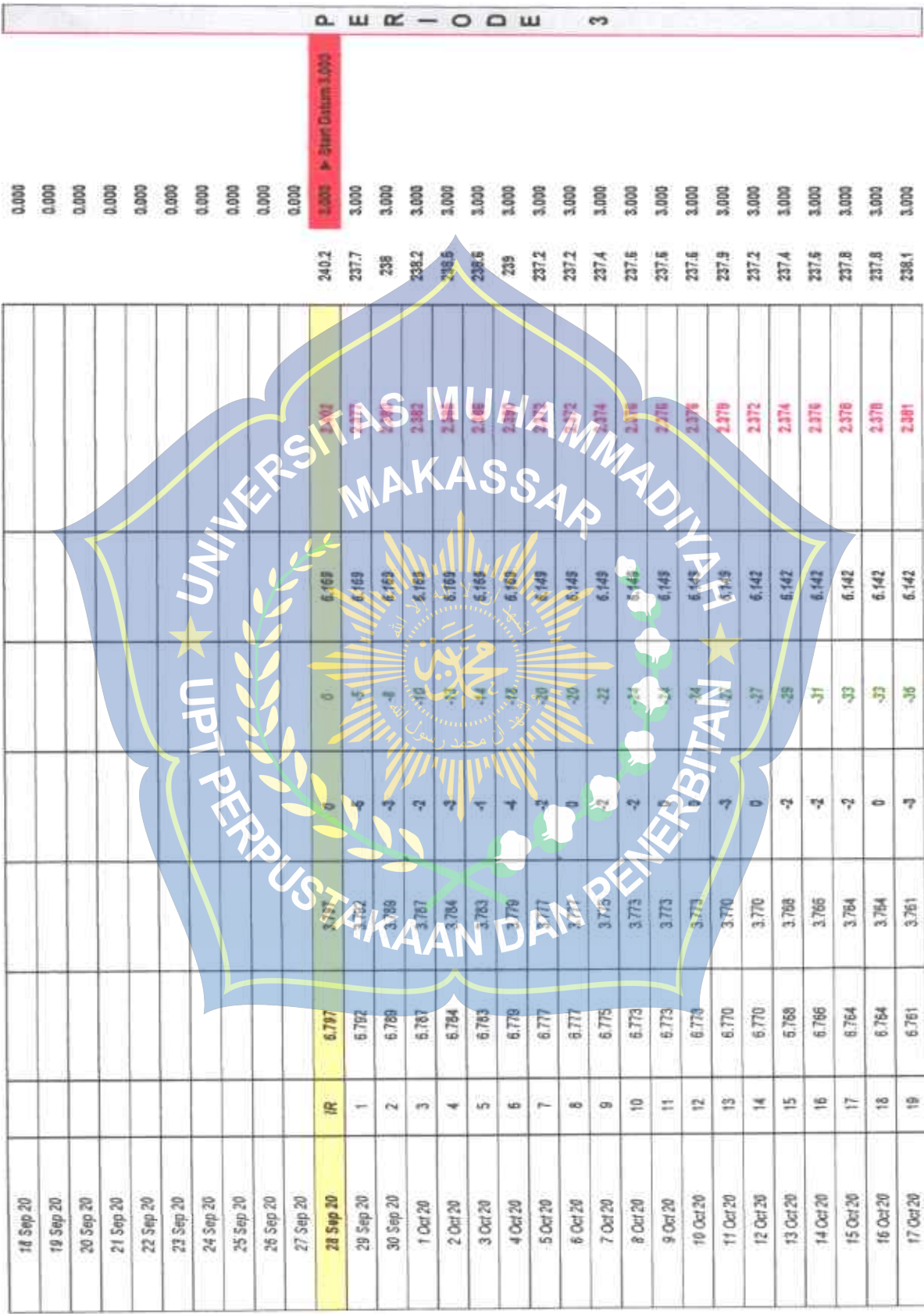
1000

LOKASI

TANGAI

18 Aug 20	0.000
19 Aug 20	0.000
20 Aug 20	0.000
21 Aug 20	0.000
22 Aug 20	0.000
23 Aug 20	0.000
24 Aug 20	0.000
25 Aug 20	0.000
26 Aug 20	0.000
27 Aug 20	0.000
28 Aug 20	0.000
29 Aug 20	0.000
30 Aug 20	0.000
31 Aug 20	0.000
1 Sep 20	0.000
2 Sep 20	0.000
3 Sep 20	0.000
4 Sep 20	0.000
5 Sep 20	0.000
6 Sep 20	0.000
7 Sep 20	0.000
8 Sep 20	0.000
9 Sep 20	0.000
10 Sep 20	0.000
11 Sep 20	0.000
12 Sep 20	0.000
13 Sep 20	0.000
14 Sep 20	0.000
15 Sep 20	0.000
16 Sep 20	0.000
17 Sep 20	0.000





18 Oct 20	20	6.757	3.757	4	-40	6.142	2.386	238.5	3.000
19 Oct 20	21	6.750	3.750	7	-47	6.122	2.377	237.2	3.000
20 Oct 20	22	6.744	3.744	6	-53	6.122	2.378	237.8	3.000
21 Oct 20	23	6.739	3.739	5	-58	6.122	2.381	238.3	3.000
22 Oct 20	24	6.735	3.735	4	-62	6.122	2.387	238.7	3.000
23 Oct 20	25	6.732	3.732	3	-65	6.122	2.389	238.9	3.000
24 Oct 20	26	6.730	3.730	2	-67	6.122	2.392	239.2	3.000
25 Oct 20	27	6.722	3.722	1	-75	6.122	2.400	240	3.000
26 Oct 20	28	6.722	3.722	0	-76	6.051	235.9	3.000	
27 Oct 20	29	6.722	3.722	0	-75	6.051	235.9	3.000	
28 Oct 20	30	6.719	3.719	1	-76	6.051	236.2	3.000	
29 Oct 20	31	6.715	3.715	4	-72	6.051	236.6	3.000	
30 Oct 20	32	6.713	3.713	2	-74	6.051	236.8	3.000	
31 Oct 20	33	6.708	3.708	5	-78	6.051	237.3	3.000	
1 Nov 20	34	6.705	3.705	4	-82	6.051	237.5	3.000	
2 Nov 20	35	6.704	3.704	1	-84	6.043	235.9	3.000	
3 Nov 20	36	6.708	3.708	3	-85	6.043	236.2	3.000	
4 Nov 20	37	6.700	3.700	1	-87	6.043	236.3	3.000	
5 Nov 20	38	6.698	3.698	0	-87	6.063	236.3	3.000	
6 Nov 20	39	6.695	3.695	2	-90	6.063	236.5	3.000	
7 Nov 20	40	6.693	3.693	1	-97	6.063	236.7	3.000	
8 Nov 20	41	6.695	3.695	1	-97	6.063	236.8	3.000	
9 Nov 20	42	6.693	3.693	2	-98	6.063	236.9	3.000	
10 Nov 20	43	6.690	3.690	3	-107	6.062	236.2	3.000	
11 Nov 20	44	6.686	3.686	4	-111	6.062	236.6	3.000	
12 Nov 20	45	6.684	3.684	2	-113	6.062	236.8	3.000	
13 Nov 20	46	6.682	3.682	2	-115	6.052	237.0	3.000	
14 Nov 20	47	6.680	3.680	2	-117	6.052	237.2	3.000	
15 Nov 20	48	6.687	3.687	3	-120	6.052	237.6	3.000	
16 Nov 20	49	6.675	3.675	2	-122	6.034	236.9	3.000	
17 Nov 20	50	6.674	3.674	1	-123	6.034	236.0	3.000	

18 Nov 20	61	6.672	3.672	-2	-125	6.034	2.362	235.2	3.000
19 Nov 20	52	6.669	3.669	-3	-128	6.034	2.365	235.5	3.000
20 Nov 20	53	6.667	3.667	-2	-130	6.034	2.367	235.7	3.000
21 Nov 20	54	6.664	3.664	-3	-133	6.034	2.370	237	3.000
22 Nov 20	55	6.662	3.662	-2	-135	6.034	2.372	237.2	3.000
23 Nov 20	56	6.662	3.662	0	-135	6.021	2.365	235.5	3.000
24 Nov 20	57	6.660	3.660	-2	-137	6.021	2.361	235.1	3.000
25 Nov 20	58	6.657	3.657	-3	-140	6.021	2.364	236.4	3.000
26 Nov 20	59	6.655	3.655	-2	-141	6.021	2.365	235.5	3.000
27 Nov 20	60	6.652	3.652	-2	-145	6.021	2.361	235.9	3.000
28 Nov 20	61	6.649	3.649	-3	-148	6.021	2.372	237.2	3.000
29 Nov 20	62	6.647	3.647	-2	-150	6.021	2.374	237.4	3.000
30 Nov 20	63	6.645	3.645	-1	-151	6.004	2.365	235.5	3.000
1 Dec 20	64	6.644	3.644	-1	-153	6.004	2.361	236	3.000
2 Dec 20	65	6.643	3.643	-1	-154	6.004	2.361	236.1	3.000
3 Dec 20	66	6.640	3.640	-2	-155	6.004	2.364	236.4	3.000
4 Dec 20	67	6.640	3.640	0	-157	6.004	2.364	236.4	3.000
5 Dec 20	68	6.639	3.639	-1	-158	6.004	2.365	236.5	3.000
6 Dec 20	69	6.637	3.637	-2	-160	6.004	2.367	236.7	3.000
7 Dec 20	70	6.635	3.635	-2	-161	5.992	2.367	235.7	3.000
8 Dec 20	71	6.632	3.632	-2	-165	5.992	2.360	236	3.000
9 Dec 20	72	6.629	3.629	-2	-166	5.992	2.363	235.3	3.000
10 Dec 20	73	6.625	3.626	-1	-175	5.992	2.366	235.6	3.000
11 Dec 20	74	6.624	3.624	-2	-173	5.992	2.366	236.6	3.000
12 Dec 20	75	6.623	3.623	-1	-175	5.992	2.363	235.9	3.000
13 Dec 20	76	6.622	3.622	-1	-175	5.992	2.370	237	3.000
14 Dec 20	77	6.622	3.622	0	-175	5.992	2.370	237	3.000
15 Dec 20	78	6.619	3.619	-3	-176	5.976	2.367	235.7	3.000
16 Dec 20	79	6.617	3.617	-2	-180	5.976	2.365	235.9	3.000
17 Dec 20	80	6.615	3.615	-2	-182	5.976	2.361	235.1	3.000

18 Dec 20	81	6.613	3.613	-2	-164	5.976	2.363	236.3	3.000
19 Dec 20	82	6.611	3.611	-2	-165	5.976	2.365	236.5	3.000
20 Dec 20	83	6.610	3.610	-1	-167	5.976	2.366	236.6	3.000
21 Dec 20	84	6.608	3.608	-2	-169	5.985	2.367	236.7	3.000
22 Dec 20	85	6.605	3.605	-3	-172	5.985	2.360	236	3.000
23 Dec 20	86	6.603	3.603	-2	-164	5.985	2.362	236.2	3.000
24 Dec 20	87	6.601	3.601	-2	-168	5.985	2.364	236.4	3.000
25 Dec 20	88	6.599	3.599	-2	-168	5.985	2.366	236.6	3.000
26 Dec 20	89	6.597	3.597	-2	-169	5.985	2.367	236.7	3.000
27 Dec 20	90	6.594	3.594	-2	-204	5.985	2.371	237.1	3.000
28 Dec 20	91	6.592	3.592	-2	-205	5.980	2.368	236.8	3.000
29 Dec 20	92	6.590	3.590	-2	-207	5.980	2.360	236	3.000
30 Dec 20	93	6.588	3.588	-2	-168	5.980	2.362	236.2	3.000
31 Dec 20	94	6.587	3.587	-1	-210	5.980	2.363	236.3	3.000
1 Jan 21	95	6.587	3.587	0	-168	5.980	2.364	236.4	3.000
2 Jan 21	96	6.585	3.585	-2	-212	5.980	2.365	236.5	3.000
3 Jan 21	97	6.583	3.583	-2	-214	5.980	2.367	236.7	3.000
4 Jan 21	98	6.582	3.582	-1	-215	5.980	2.368	236.8	3.000
5 Jan 21	99	6.582	3.582	0	-215	5.980	2.368	236.8	3.000
6 Jan 21	100	6.582	3.582	0	-215	5.980	2.368	236.8	3.000
7 Jan 21	101	6.581	3.581	-1	-216	5.940	2.365	236.5	3.000
8 Jan 21	102	6.580	3.580	-1	-217	5.940	2.369	236	3.000
9 Jan 21	103	6.578	3.578	-2	-217	5.940	2.372	236.2	3.000
10 Jan 21	104	6.577	3.577	-1	-216	5.940	2.363	236.3	3.000
11 Jan 21	105	6.576	3.576	-1	-220	5.940	2.364	236.4	3.000
12 Jan 21	106	6.574	3.574	-2	-223	5.934	2.360	236	3.000
13 Jan 21	107	6.573	3.573	-1	-224	5.934	2.361	236.1	3.000
14 Jan 21	108	6.571	3.571	-2	-226	5.934	2.363	236.3	3.000
15 Jan 21	109	6.570	3.570	-1	-227	5.934	2.364	236.4	3.000
16 Jan 21	110	6.569	3.569	-1	-228	5.934	2.365	236.5	3.000
17 Jan 21	111	6.567	3.567	-4	-220	5.934	2.367	236.7	3.000

18 Jan 21	112	6.566	3.566	-1	-331	5.924	2.366	235.8	1.000
19 Jan 21	113	6.564	3.564	-2	-333	5.924	2.360	236	3.000
20 Jan 21	114	6.562	3.562	-2	-335	5.924	2.362	236.2	3.000
21 Jan 21	115	6.559	3.559	-3	-336	5.924	2.366	236.5	3.000
22 Jan 21	116	6.557	3.557	-2	-340	5.924	2.367	236.7	3.000
23 Jan 21	117	6.555	3.555	-2	-342	5.924	2.369	236.9	3.000
24 Jan 21	118	6.554	3.554	-1	-345	5.910	2.370	237	3.000
25 Jan 21	119	6.552	3.552	-1	-345	5.910	2.368	235.8	3.000
26 Jan 21	120	6.550	3.550	-2	-347	5.910	2.366	236	3.000
27 Jan 21	121	6.548	3.548	-2	-349	5.910	2.362	236.2	3.000
28 Jan 21	122	6.546	3.546	-2	-351	5.910	2.354	235.4	3.000
29 Jan 21	123	6.545	3.545	-1	-351	5.910	2.356	235.6	3.000
30 Jan 21	124	6.544	3.544	-1	-353	5.910	2.354	235.4	3.000
31 Jan 21	125	6.542	3.542	-2	-355	5.910	2.356	235.6	3.000
1 Feb 21	126	6.541	3.541	-1	-356	5.900	2.356	235.6	3.000
2 Feb 21	127	6.540	3.540	-1	-357	5.900	2.356	235.6	3.000
3 Feb 21	128	6.539	3.539	-1	-358	5.900	2.356	235.6	3.000
4 Feb 21	129	6.538	3.538	-1	-359	5.900	2.362	236.2	3.000
5 Feb 21	130	6.538	3.538	0	-359	5.900	2.352	235.2	3.000
6 Feb 21	131	6.536	3.536	-1	-361	5.900	2.364	236.4	3.000
7 Feb 21	132	6.534	3.534	-1	-359	5.900	2.362	236.2	3.000
8 Feb 21	133	6.532	3.532	-2	-363	5.891	2.360	235.9	3.000
9 Feb 21	134	6.531	3.531	-2	-363	5.891	2.360	235.9	3.000
10 Feb 21	135	6.529	3.529	-2	-363	5.886	2.362	236.2	3.000
11 Feb 21	136	6.528	3.528	-1	-369	5.891	2.363	236.3	3.000
12 Feb 21	137	6.527	3.527	-1	-370	5.891	2.364	236.4	3.000
13 Feb 21	138	6.527	3.527	0	-370	5.891	2.364	236.4	3.000
14 Feb 21	139	6.526	3.526	-1	-371	5.891	2.365	236.5	3.000
15 Feb 21	140	6.524	3.524	-2	-373	5.893	2.366	236.6	3.000
16 Feb 21	141	6.522	3.522	-2	-375	5.883	2.361	236.1	3.000
17 Feb 21	142	6.520	3.520	-2	-377	5.883	2.363	236.3	3.000

P E R I O D E S

18 Feb 21	143	6.519	3.519	-1	-179	5.803	2.164	2.000	236.4
19 Feb 21	144	6.518	3.518	-1	-179	5.803	2.165	2.000	236.5
20 Feb 21	145	6.517	3.517	-1	-179	5.803	2.166	2.000	236.6
21 Feb 21	146	6.516	3.516	-1	-179	5.803	2.167	2.000	236.7
22 Feb 21	147	6.514	3.514	-2	-202	5.873	2.169	3.000	235.9
23 Feb 21	148	6.513	3.513	-1	-179	5.873	2.170	3.000	236.0
24 Feb 21	149	6.510	3.510	-1	-179	5.873	2.171	3.000	236.1
25 Feb 21	150	6.508	3.508	-2	-202	5.873	2.172	3.000	236.2
26 Feb 21	151	6.507	3.507	-1	-202	5.873	2.173	3.000	236.3
27 Feb 21	152	6.506	3.506	-1	-202	5.873	2.174	3.000	236.4
28 Feb 21	153	6.505	3.505	-1	-202	5.873	2.175	3.000	236.5
1 Mar 21	154	6.503	3.503	-2	-204	5.873	2.176	3.000	236.6
2 Mar 21	155	6.502	3.502	-1	-205	5.873	2.177	3.000	236.7
3 Mar 21	156	6.501	3.501	-1	-205	5.873	2.178	3.000	236.8
4 Mar 21	157	6.499	3.499	-1	-205	5.873	2.179	3.000	236.9
5 Mar 21	158	6.498	3.498	-1	-205	5.873	2.180	3.000	236.0
6 Mar 21	159	6.497	3.497	-1	-205	5.873	2.181	3.000	236.1
7 Mar 21	160	6.496	3.496	-1	-205	5.873	2.182	3.000	236.2
8 Mar 21	161	6.495	3.495	-1	-205	5.873	2.183	3.000	236.3
9 Mar 21	162	6.495	3.495	-1	-205	5.873	2.184	3.000	236.4
10 Mar 21	163	6.494	3.494	-1	-205	5.873	2.185	3.000	236.5
11 Mar 21	164	6.493	3.493	-1	-205	5.873	2.186	3.000	236.6
12 Mar 21	165	6.491	3.491	-2	-206	5.855	2.187	3.000	236.7
13 Mar 21	166	6.490	3.490	-1	-207	5.855	2.188	3.000	236.8
14 Mar 21	167	6.489	3.489	-1	-207	5.855	2.189	3.000	236.9
15 Mar 21	168	6.488	3.488	-1	-209	5.860	2.172	3.000	237.0
16 Mar 21	169	6.487	3.487	-1	-209	5.860	2.173	3.000	237.1
17 Mar 21	170	6.486	3.486	-1	-211	5.860	2.174	3.000	237.2

18 Mar'21	171	6.485	3.485	-1	-312	5.860	2.116	237.5	3.000
19 Mar'21	172	6.484	3.484	-1	-313	5.860	2.116	237.6	3.000
20 Mar'21	173	6.483	3.483	-1	-314	5.860	2.117	237.7	3.000
21 Mar'21	174	6.482	3.482	-1	-315	5.857	2.117	237.5	3.000
22 Mar'21	175	6.481	3.481	-1	-316	5.853	2.112	237.2	3.000
23 Mar'21	176	6.480	3.480	-1	-317	5.853	2.113	237.3	3.000
24 Mar'21	177	6.478	3.479	-1	-318	5.857	2.114	237.3	3.000
25 Mar'21	178	6.477	3.477	-2	-319	5.859	2.113	237.3	3.000
26 Mar'21	179	6.475	3.475	-2	-320	5.858	2.112	237.3	3.000
27 Mar'21	180	6.473	3.473	-2	-321	5.858	2.112	237.3	3.000
28 Mar'21	181	6.471	3.471	-2	-322	5.848	2.114	237.4	3.000
29 Mar'21	182	6.470	3.470	-1	-323	5.845	2.114	237.4	3.000
30 Mar'21	183	6.469	3.469	-1	-324	5.844	2.114	237.5	3.000
31 Mar'21	184	6.468	3.469	0	-325	5.844	2.115	237.5	3.000
1 Apr'21	185	6.468	3.468	-1	-326	5.844	2.114	237.5	3.000
2 Apr'21	186	6.467	3.467	-1	-327	5.844	2.115	237.5	3.000
3 Apr'21	187	6.465	3.465	-2	-328	5.842	2.115	237.5	3.000
4 Apr'21	188	6.465	3.463	-2	-329	5.840	2.116	237.6	3.000
5 Apr'21	189	6.461	3.457	-1	-330	5.838	2.116	237.6	3.000
6 Apr'21	190	6.460	3.460	-1	-331	5.837	2.117	237.7	3.000
7 Apr'21	191	6.458	3.458	-2	-332	5.838	2.117	237.7	3.000
8 Apr'21	192	6.457	3.457	-1	-333	5.836	2.117	237.7	3.000
9 Apr'21	193	6.456	3.456	-1	-334	5.835	2.117	237.7	3.000
10 Apr'21	194	6.456	3.456	0	-335	5.835	2.117	237.7	3.000
11 Apr'21	195	6.455	3.455	0	-336	5.835	2.117	237.7	3.000
12 Apr'21	196	6.455	3.455	-1	-337	5.834	2.118	237.8	3.000
13 Apr'21	197	6.455	3.455	0	-338	5.834	2.118	237.8	3.000
14 Apr'21	198	6.455	3.455	0	-339	5.834	2.119	237.9	3.000
15 Apr'21	199	6.454	3.454	-1	-340	5.834	2.120	238	3.000
16 Apr'21	200	6.453	3.453	-1	-341	5.833	2.120	238	3.000
17 Apr'21	201	6.453	3.453	0	-342	5.833	2.120	238	3.000

P E R I O D E

18 Apr'21	202	6.452	3.452	-1	-345	5.832	2.380	238	3.000
19 Apr'21	203	6.451	3.451	-1	-346	5.832	2.381	238.1	3.000
20 Apr'21	204	6.450	3.450	-1	-347	5.831	2.381	238.1	3.000
21 Apr'21	205	6.449	3.449	-1	-348	5.830	2.381	238.1	3.000
22 Apr'21	206	6.448	3.448	-1	-349	5.830	2.382	238.2	3.000
23 Apr'21	207	6.446	3.446	-2	-350	5.829	2.383	238.3	3.000
24 Apr'21	208	6.445	3.445	-1	-351	5.827	2.382	238.2	3.000
25 Apr'21	209	6.443	3.443	-2	-352	5.826	2.383	238.3	3.000
26 Apr'21	210	6.440	3.440	-1	-353	5.824	2.384	238.4	3.000
27 Apr'21	211	6.437	3.437	-2	-354	5.822	2.385	238.5	3.000
28 Apr'21	212	6.435	3.435	-2	-355	5.821	2.386	238.6	3.000
29 Apr'21	213	6.432	3.432	-1	-356	5.819	2.387	238.7	3.000
30 Apr'21	214	6.430	3.430	-2	-357	5.817	2.388	238.8	3.000
1 May'21	215	6.428	3.428	-2	-358	5.816	2.389	238.9	3.000
2 May'21	216	6.427	3.427	-1	-359	5.816	2.390	239	3.000
3 May'21	217	6.426	3.426	-1	-360	5.816	2.391	239.1	3.000
4 May'21	218	6.425	3.425	-1	-361	5.816	2.392	239.2	3.000
5 May'21	219	6.424	3.424	-1	-362	5.816	2.393	239.3	3.000
6 May'21	220	6.424	3.424	0	-363	5.816	2.394	239.4	3.000
7 May'21	221	6.423	3.423	-1	-364	5.816	2.395	239.5	3.000
8 May'21	222	6.421	3.421	-2	-365	5.816	2.396	239.6	3.000
9 May'21	223	6.421	3.421	0	-366	5.816	2.397	239.7	3.000
10 May'21	224	6.420	3.420	-1	-367	5.816	2.398	239.8	3.000
11 May'21	225	6.419	3.419	-1	-368	5.816	2.399	239.9	3.000
12 May'21	226	6.418	3.418	-1	-369	5.814	2.396	239.6	3.000
13 May'21	227	6.418	3.418	-1	-370	5.814	2.397	239.7	3.000
14 May'21	228	6.414	3.414	-4	-371	5.814	2.400	240	3.000
15 May'21	229	6.414	3.414	-4	-372	5.812	2.400	240	3.000
16 May'21	230	6.412	3.412	-2	-373	5.812	2.400	240	3.000
17 May'21	231	6.410	3.410	-2	-374	5.812	2.402	240.2	3.000

		P	E	E	R	I	O	D	E	I	F
18 May 21	232	6,407	3,407	-3	-360	5,311	2404	1,000			
19 May 21	233	6,405	3,405	-2	-372	5,311	2406	1,000			
20 May 21	234	6,402	3,402	-3	-384	5,311	2409	1,000			
21 May 21	235	6,400	3,400	-2	-397	5,310	2410	1,000			
22 May 21	236	6,399	3,399	-1	-410	5,310	2411	1,000			
23 May 21	237	6,397	3,397	-2	-410	5,305	2408	1,000			
24 May 21	238	6,396	3,395	-1	-410	5,305	2409	1,000			
25 May 21	239	6,395	3,395	0	-410	5,305	2410	1,000			
26 May 21	240	6,395	3,395	0	-410	5,305	2410	1,000			
27 May 21	241	6,394	3,394	-1	-404	5,304	2405	1,000			
28 May 21	242	6,394	3,394	0	-400	5,300	2405	1,000			
29 May 21	243	6,393	3,392	-1	-404	5,300	2407	1,000			
30 May 21	244	6,392	3,392	-1	-405	5,300	2408	1,000			
31 May 21	245	6,392	3,392	0	-400	5,300	2408	1,000			
1 Jun 21	246	6,391	3,391	-1	-400	5,297	2405	1,000			
2 Jun 21	247	6,389	3,389	-2	-400	5,297	2408	1,000			
3 Jun 21	248	6,389	3,389	0	-400	5,297	2408	1,000			
4 Jun 21	249	6,388	3,388	-1	-400	5,294	2405	1,000			
5 Jun 21	250	6,385	3,385	0	-400	5,294	2406	1,000			
6 Jun 21	251	6,387	3,387	0	-400	5,293	2406	1,000			
7 Jun 21	252	6,385	3,385	-2	-412	5,293	2408	1,000			
8 Jun 21	253	6,384	3,384	-1	-415	5,294	2408	1,000			
9 Jun 21	254	6,382	3,382	-1	-415	5,290	2408	1,000			
10 Jun 21	255	6,381	3,381	-1	-415	5,289	2405	1,000			
11 Jun 21	256	6,381	3,381	0	-416	5,287	2406	1,000			
12 Jun 21	257	6,380	3,380	-1	-417	5,286	2406	1,000			
13 Jun 21	258	6,378	3,378	-2	-419	5,285	2407	1,000			
14 Jun 21	259	6,377	3,377	-1	-420	5,285	2408	1,000			
15 Jun 21	260	6,377	3,377	0	-420	5,284	2407	1,000			
16 Jun 21	261	6,376	3,376	-1	-421	5,284	2408	1,000			
17 Jun 21	262	6,374	3,374	-2	-423	5,283	2409	1,000			

P E R I O D E

1 2

16 Jun 21	263	6.372	3.372	-2	-4.75	5.753	2.411	244.1	3.000
19 Jun 21	264	6.370	3.370	-2	-4.77	5.751	2.411	244.1	3.000
20 Jun 21	265	6.369	3.359	-1	-4.79	5.750	2.411	244.1	3.000
21 Jun 21	266	6.369	3.359	0	-4.79	5.750	2.411	244.1	3.000
22 Jun 21	267	6.368	3.358	-1	-4.79	5.750	2.412	244.2	3.000
23 Jun 21	268	6.367	3.357	-1	-4.80	5.778	2.411	244.1	3.000
24 Jun 21	269	6.367	3.357	0	-4.80	5.778	2.411	244.1	3.000
25 Jun 21	270	6.365	3.355	-2	-4.81	5.773	2.411	244.1	3.000
26 Jun 21	271	6.363	3.353	-1	-4.84	5.774	2.411	244.1	3.000
27 Jun 21	272	6.362	3.352	-1	-4.85	5.773	2.491	244.1	3.000
28 Jun 21	273	6.360	3.350	0	-4.87	5.771	2.411	244.1	3.000
29 Jun 21	274	6.360	3.350	0	-4.87	5.771	2.411	244.1	3.000
30 Jun 21	275	6.360	3.350	0	-4.87	5.770	2.410	244.1	3.000
1 Jul 21	276	6.359	3.359	-1	-4.89	5.770	2.411	244.1	3.000
2 Jul 21	277	6.359	3.359	0	-4.88	5.770	2.411	244.1	3.000
3 Jul 21	276	6.358	3.358	-1	-4.89	5.770	2.412	244.2	3.000
4 Jul 21	279	6.358	3.358	0	-4.90	5.770	2.412	244.2	3.000
5 Jul 21	280	6.357	3.357	-1	-4.90	5.769	2.412	244.2	3.000
6 Jul 21	281	6.357	3.357	0	-4.90	5.769	2.412	244.2	3.000
7 Jul 21	282	6.356	3.356	-1	-4.91	5.768	2.412	244.2	3.000
8 Jul 21	283	6.355	3.355	-1	-4.91	5.768	2.413	244.3	3.000
9 Jul 21	284	6.354	3.354	-1	-4.93	5.767	2.413	244.3	3.000
10 Jul 21	285	6.353	3.353	-1	-4.93	5.767	2.414	244.4	3.000
11 Jul 21	286	6.351	3.351	-2	-4.98	5.766	2.414	244.4	3.000
12 Jul 21	287	6.350	3.350	-1	-4.97	5.766	2.416	244.5	3.000
13 Jul 21	288	6.349	3.349	-1	-4.98	5.764	2.416	244.5	3.000
14 Jul 21	289	6.346	3.346	-1	-4.99	5.764	2.416	244.5	3.000
15 Jul 21	290	6.345	3.346	0	-4.99	5.764	2.416	244.5	3.000
16 Jul 21	291	6.347	3.347	-1	-4.95	5.763	2.416	244.6	3.000
17 Jul 21	292	6.347	3.347	0	-4.95	5.763	2.416	244.6	3.000
18 Jul 21	293	6.346	3.346	-1	-4.95	5.762	2.416	244.6	3.000
19 Jul 21	294	6.346	3.346	0	-4.95	5.762	2.416	244.7	3.000
20 Jul 21	295	6.345	3.345	-1	-4.92	5.761	2.416	244.6	3.000
21 Jul 21	296	6.343	3.343	-2	-4.94	5.761	2.416	244.6	3.000
22 Jul 21	297	6.343	3.343	0	-4.94	5.760	2.417	244.7	3.000
23 Jul 21	298	6.342	3.342	-1	-4.95	5.760	2.416	244.6	3.000
24 Jul 21	299	6.341	3.341	-1	-4.96	5.759	2.416	244.6	3.000

TABEL PENURUNAN, TOTAL PENURUNAN & TEBAL TIMBULAN
 SUBYEK : SETTLEMENT PLATE (SP -70)
 LOKASI : X = 766312.386 ; Y = 9455349.736
 TANGGAL INSTALL : 29 OKTOBER 2019

卷之三

SEE / LÉGENDE / LEGEND / LEGENDE (35P + 70)

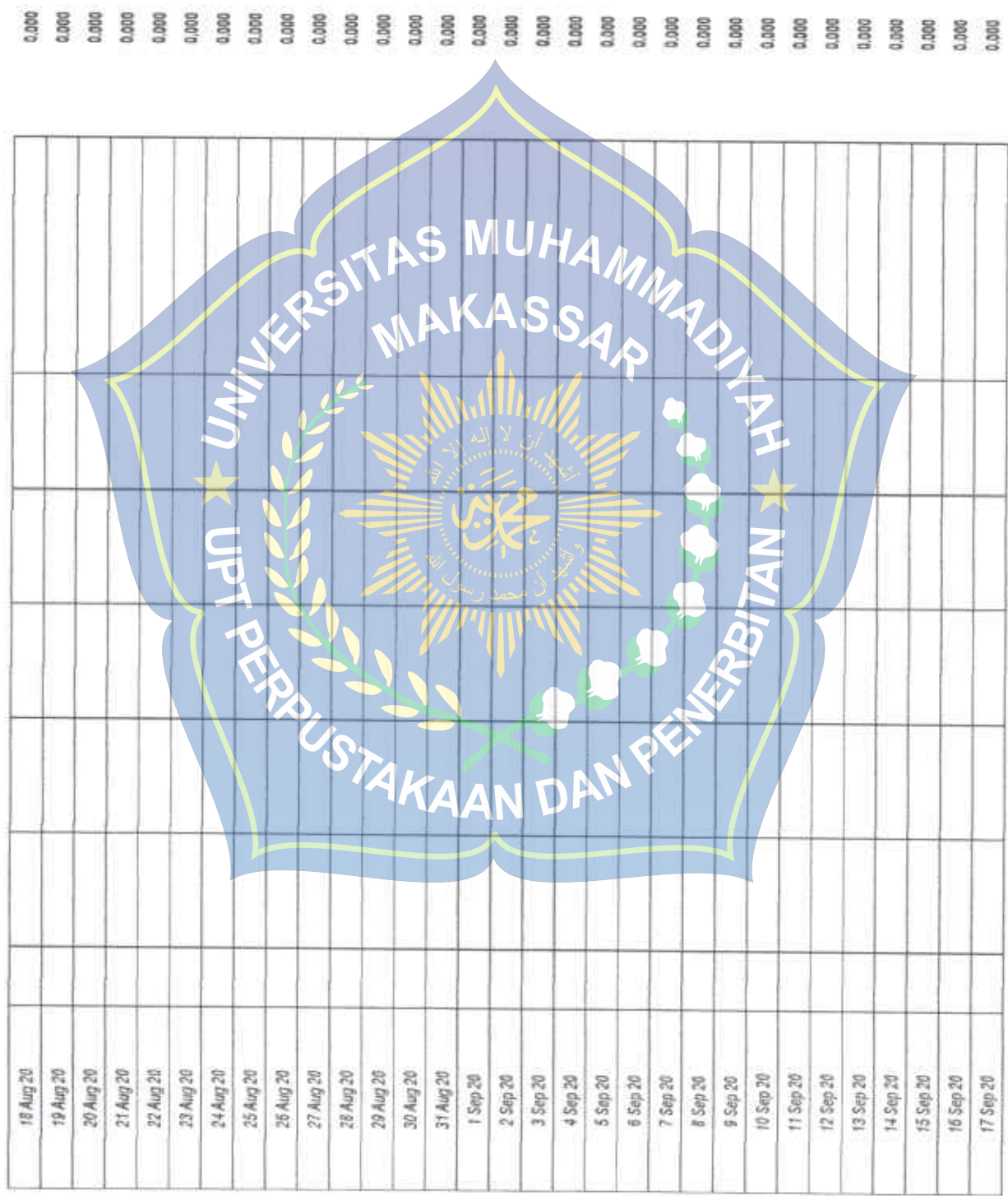
X = 768912388 : Y = 99359716

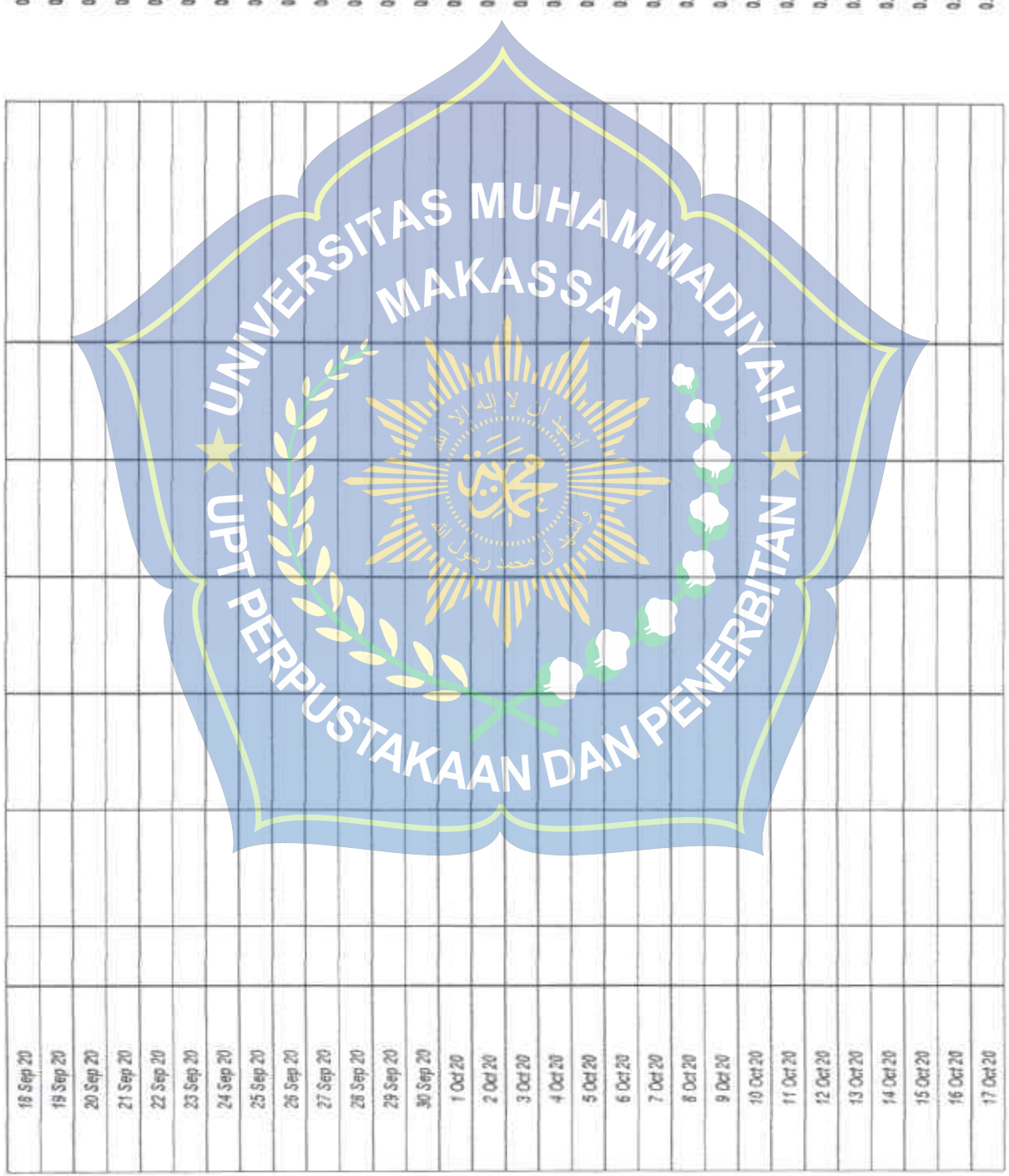
卷之三

TANGGAL INSTALL

TANGGAL	HARI	ELEVASI DATUM [EL+1m]	ELEVASI PLATE SP [EL+1m]	PENURUNAN [mm]	TOTAL PENURUNAN [mm]	ELEVASI PERMUKAAN EL [1m]	TEBAL TANAH DARI PLATE KE PERMUKAAN [m]	MUL TANAH DARI KE PERMUKAAN [m]	DATUM KETERANGAN
29 Jul 20	Sen	-4.121	2.121			3.471			16.000
30 Jul 20	Rab	-4.121	2.121			3.471			16.000
31 Jul 20	Sabtu	-4.121	2.121			3.471			16.000
1 Agu 20	Sen	-4.121	2.121			3.471			16.000
2 Agu 20	Rab	-4.121	2.121			3.471			16.000
3 Agu 20	Sabtu	-4.121	2.121			3.471			16.000
4 Agu 20	Sen	-4.121	2.121			3.471			16.000
5 Agu 20	Rab	-4.121	2.121			3.471			16.000
6 Agu 20	Sabtu	-4.121	2.121			3.471			16.000
7 Agu 20	Sen	-4.121	2.121			3.471			16.000
8 Agu 20	Rab	-4.121	2.121			3.471			16.000
9 Agu 20	Sabtu	-4.121	2.121			3.471			16.000
10 Agu 20	Sen	-4.121	2.121			3.471			16.000
11 Agu 20	Rab	-4.121	2.121			3.471			16.000
12 Agu 20	Sabtu	-4.121	2.121			3.471			16.000
13 Agu 20	Sen	-4.121	2.121			3.471			16.000
14 Agu 20	Rab	-4.121	2.121			3.471			16.000
15 Agu 20	Sabtu	-4.121	2.121			3.471			16.000
16 Agu 20	Sen	-4.121	2.121			3.471			16.000
17 Agu 20	Rab	-4.121	2.121			3.471			16.000

P E R - O D E 2





		PERIOD	
18 Oct 20		0.000	0.000
19 Oct 20		0.000	0.000
20 Oct 20		0.000	0.000
21 Oct 20		0.000	0.000
22 Oct 20		0.000	0.000
23 Oct 20		0.000	0.000
24 Oct 20		0.000	0.000
25 Oct 20		0.000	0.000
26 Oct 20		0.000	0.000
27 Oct 20		0.000	0.000
28 Oct 20		0.000	0.000
29 Oct 20	IR	4.121	1.000 ► Item Count 1,000
30 Oct 20	1	4.116	35.5
31 Oct 20	2	4.113	35.8
1 Nov 20	3	4.111	36
2 Nov 20	4	4.111	36
3 Nov 20	5	4.110	36.1
4 Nov 20	6	4.105	36.3
5 Nov 20	7	4.105	36.5
6 Nov 20	8	4.103	36.8
7 Nov 20	9	4.100	37.1
8 Nov 20	10	4.099	37.2
9 Nov 20	11	4.097	35
10 Nov 20	12	4.095	35.1
11 Nov 20	13	4.093	35.4
12 Nov 20	14	4.088	35.5
13 Nov 20	15	4.085	35.2
14 Nov 20	16	4.081	35.6
15 Nov 20	17	4.078	35.9
16 Nov 20	18	4.074	35.0
17 Nov 20	19	4.073	35.1

18 Nov 20	20	4.071	3.071	-2	-59	3.424	3.424	36.1	1.000
19 Nov 20	21	4.070	3.070	-1	-51	3.424	3.424	35.4	1.000
20 Nov 20	22	4.068	3.068	-2	-53	3.424	3.424	35.6	1.000
21 Nov 20	23	4.064	3.064	-4	-57	3.424	3.424	36	1.000
22 Nov 20	24	4.061	3.061	-3	-56	3.424	3.424	36.3	1.000
23 Nov 20	25	4.059	3.059	-2	-61	3.409	3.409	36	1.000
24 Nov 20	26	4.058	3.058	-1	-59	3.409	3.409	35.1	1.000
25 Nov 20	27	4.056	3.055	-2	-59	3.409	3.409	35.4	1.000
26 Nov 20	28	4.053	3.053	-2	-54	3.409	3.409	35.6	1.000
27 Nov 20	29	4.053	3.053	-1	-58	3.409	3.409	35.6	1.000
28 Nov 20	30	4.052	3.052	0	-59	3.409	3.409	35.7	1.000
29 Nov 20	31	4.052	3.052	0	-59	3.409	3.409	35.7	1.000
30 Nov 20	32	4.052	3.052	0	-59	3.402	3.402	35	1.000
1 Dec 20	33	4.051	3.051	-1	-56	3.402	3.402	35.1	1.000
2 Dec 20	34	4.050	3.050	-1	-51	3.402	3.402	35.2	1.000
3 Dec 20	35	4.050	3.050	0	-59	3.402	3.402	35.2	1.000
4 Dec 20	36	4.050	3.050	0	-59	3.402	3.402	35.2	1.000
5 Dec 20	37	4.049	3.049	-1	-54	3.402	3.402	35.3	1.000
6 Dec 20	38	4.047	3.047	-2	-71	3.402	3.402	35.5	1.000
7 Dec 20	39	4.045	3.045	-2	-75	3.395	3.395	35	1.000
10 Dec 20	42	4.039	3.039	-2	-78	3.385	3.385	35.2	1.000
11 Dec 20	43	4.036	3.036	-1	-81	3.396	3.396	35.7	1.000
12 Dec 20	44	4.036	3.036	-2	-85	3.395	3.395	35.9	1.000
13 Dec 20	45	4.034	3.034	-2	-87	3.395	3.395	36.1	1.000
14 Dec 20	46	4.033	3.033	-1	-82	3.395	3.395	36.2	1.000
15 Dec 20	47	4.030	3.030	-3	-91	3.390	3.390	36	1.000
16 Dec 20	48	4.027	3.027	-3	-94	3.380	3.380	35.3	1.000
17 Dec 20	49	4.026	3.026	-1	-95	3.380	3.380	35.4	1.000

50	4.024	3.024	-2	.97	3.380	0.366	1.000
51	4.022	3.022	-2	.99	3.380	0.366	1.000
52	4.020	3.020	-2	.101	3.380	0.360	1.000
53	4.017	3.017	-3	-104	3.367	0.360	1.000
54	4.015	3.015	-2	-106	3.367	0.362	1.000
55	4.014	3.014	-1	-107	3.357	0.363	1.000
56	4.014	3.014	0	-107	3.367	0.362	1.000
57	4.013	3.013	-1	-109	3.367	0.364	1.000
58	4.012	3.012	-1	-109	3.317	0.364	1.000
59	4.010	3.010	-2	-114	3.367	0.364	1.000
60	4.009	3.009	-1	-115	3.360	0.365	1.000
61	4.007	3.007	-2	-114	3.359	0.365	1.000
62	4.005	3.005	-1	-115	3.360	0.366	1.000
63	4.004	3.004	-1	-117	3.360	0.366	1.000
64	4.003	3.003	-1	-116	3.360	0.367	1.000
65	4.002	3.002	-1	-119	3.360	0.366	1.000
66	4.002	3.002	-1	-119	3.360	0.366	1.000
67	4.000	3.000	-1	-121	3.351	0.361	1.000
68	3.998	2.998	-1	-121	3.351	0.363	1.000
69	3.997	2.997	-1	-121	3.351	0.364	1.000
70	3.996	2.996	-1	-115	3.351	0.365	1.000
71	3.995	2.996	0	-115	3.351	0.365	1.000
72	3.995	2.995	-1	-116	3.351	0.366	1.000
73	3.995	2.995	0	-125	3.351	0.367	1.000
74	3.995	2.995	0	-125	3.346	0.361	1.000
75	3.994	2.994	-1	-127	3.346	0.362	1.000
76	3.993	2.993	-1	-126	3.346	0.363	1.000
77	3.991	2.991	-2	-130	3.346	0.365	1.000
78	3.990	2.990	-1	-131	3.346	0.366	1.000
79	3.988	2.988	-2	-132	3.346	0.366	1.000
80	3.987	2.987	-1	-134	3.346	0.368	1.000

81	3.985	2.985	-2	-194	3.336	0.361	1.000
82	3.984	2.984	-1	-137	3.336	0.362	35.2
83	3.982	2.982	-2	-193	3.336	0.364	36.4
84	3.981	2.981	-1	-140	3.336	0.365	35.5
85	3.980	2.980	-1	-141	3.336	0.366	35.6
86	3.979	2.979	-1	-142	3.336	0.357	35.7
87	3.978	2.978	-1	-143	3.336	0.358	35.8
88	3.977	2.977	-1	-144	3.336	0.361	35.1
89	3.976	2.976	-1	-145	3.328	0.342	35.2
90	3.975	2.975	-1	-146	3.328	0.340	35.3
91	3.973	2.973	-1	-147	3.328	0.344	35.5
92	3.972	2.972	-1	-148	3.328	0.346	35.5
93	3.970	2.970	-2	-151	3.328	0.348	35.8
94	3.968	2.968	-2	-152	3.328	0.340	35.3
95	3.967	2.967	-1	-154	3.328	0.341	35.1
96	3.965	2.965	-2	-155	3.328	0.343	35.3
97	3.964	2.964	-1	-157	3.328	0.344	35.4
98	3.962	2.962	-2	-159	3.328	0.346	35.6
99	3.960	2.960	-2	-161	3.328	0.348	35.8
100	3.958	2.958	-2	-162	3.328	0.349	36.0
101	3.957	2.957	-1	-164	3.318	0.341	36.1
102	3.956	2.956	-1	-165	3.317	0.341	35.1
103	3.955	2.955	-1	-166	3.307	0.342	35.2
104	3.953	2.953	-2	-168	3.307	0.344	35.4
105	3.953	2.953	0	-168	3.307	0.344	35.4
106	3.953	2.953	0	-168	3.307	0.344	36.4
107	3.953	2.953	0	-168	3.307	0.344	35.4
108	3.953	2.953	0	-168	3.307	0.344	35.4
109	3.953	2.953	0	-168	3.304	0.341	35.1
110	3.952	2.952	-1	-169	3.304	0.342	35.2
111	3.951	2.951	-1	-170	3.304	0.343	35.3

P E R I O D E

112	3.950	2.950	-1	-171	3.304	0.354	1.000
113	3.950	2.950	0	-171	3.304	0.354	1.000
114	3.950	2.950	0	-171	3.304	0.354	1.000
115	3.950	2.950	0	-171	3.304	0.354	1.000
116	3.950	2.950	0	-171	3.301	0.351	1.000
117	3.950	2.950	0	-171	3.301	0.351	1.000
118	3.948	2.948	-2	-171	3.301	0.351	1.000
119	3.946	2.946	-2	-175	3.301	0.356	1.000
120	3.945	2.945	-1	-176	3.301	0.356	1.000
121	3.945	2.945	0	-176	3.301	0.356	1.000
122	3.944	2.944	-1	-177	3.301	0.367	1.000
123	3.943	2.943	-1	-178	3.301	0.368	1.000
124	3.942	2.942	-1	-179	3.301	0.369	1.000
125	3.942	2.942	0	-179	3.301	0.369	1.000
126	3.942	2.942	0	-179	3.328	0.369	1.000
127	3.941	2.941	1	-180	3.328	0.369	1.000
128	3.939	2.939	2	-182	3.423	0.687	1.000
129	3.937	2.937	2	-184	3.428	0.687	1.000
130	3.936	2.936	1	-185	3.621	0.688	1.000
131	3.934	2.934	2	-187	3.621	0.687	1.000
132	3.932	2.932	2	-189	3.621	0.687	1.000
133	3.930	2.930	2	-191	3.621	0.687	1.000
134	3.928	2.929	1	-192	3.621	0.689	1.000
135	3.927	2.927	2	-194	3.621	0.694	1.000
136	3.925	2.925	2	-196	3.621	0.696	1.000
137	3.923	2.923	2	-198	3.250	0.327	1.000
138	3.921	2.921	2	-200	3.250	0.329	1.000
139	3.919	2.919	2	-202	3.250	0.331	1.000

P E R I O D E 9

140	3.916	2.918	-1	-203	3.250	3.250	0.312	1.000
141	3.917	2.917	-1	-204	3.250	3.250	0.313	1.000
142	3.916	2.916	-1	-205	3.250	3.250	0.314	1.000
143	3.915	2.915	-1	-206	3.415	3.415	0.600	60
144	3.914	2.914	-1	-207	3.414	3.414	0.600	60
145	3.912	2.912	-2	-208	3.414	3.414	0.602	60.2
146	3.911	2.911	-1	-209	3.413	3.413	0.602	60.2
147	3.910	2.910	-1	-210	3.413	3.413	0.603	60.3
148	3.910	2.910	0	-211	3.413	3.413	0.603	60.3
149	3.909	2.909	-1	-212	3.412	3.412	0.603	60.3
150	3.908	2.908	-1	-213	3.411	3.411	0.603	60.3
151	3.907	2.907	-1	-214	3.410	3.410	0.603	60.3
152	3.906	2.906	-1	-215	3.409	3.409	0.603	60.3
153	3.904	2.904	-2	-216	3.407	3.407	0.603	60.3
154	3.903	2.903	-1	-217	3.406	3.406	0.603	60.3
155	3.901	2.901	-2	-218	3.405	3.405	0.604	60.4
156	3.898	2.898	-2	-219	3.403	3.403	0.604	60.4
157	3.897	2.897	-2	-220	3.401	3.401	0.604	60.4
158	3.896	2.896	-1	-221	3.401	3.401	0.604	60.4
159	3.895	2.895	-1	-222	3.401	3.401	0.604	60.4
160	3.894	2.894	-1	-223	3.401	3.401	0.604	60.4
161	3.894	2.894	0	-224	3.401	3.401	0.604	60.4
162	3.893	2.893	-1	-225	3.401	3.401	0.604	60.4
163	3.893	2.893	0	-226	3.401	3.401	0.604	60.4
164	3.893	2.893	0	-227	3.401	3.401	0.604	60.4
165	3.893	2.893	0	-228	3.401	3.401	0.604	60.4
166	3.892	2.892	-1	-229	3.401	3.401	0.604	60.4
167	3.892	2.892	0	-230	3.401	3.401	0.604	60.4
168	3.890	2.890	-2	-231	3.400	3.400	0.610	61
169	3.889	2.889	-1	-232	3.399	3.399	0.610	61
170	3.887	2.887	-2	-233	3.398	3.398	0.611	61.1

P E R I O D E 1 0

171	3.865	2.865	-2	-236	3.397	0.512	61.2	1.000
172	3.863	2.863	-2	-238	3.396	0.513	61.3	1.000
173	3.861	2.861	-2	-240	3.394	0.513	61.3	1.000
174	3.879	2.879	-2	-242	3.392	0.513	61.3	1.000
175	3.878	2.878	-1	-243	3.392	0.514	61.4	1.000
176	3.877	2.877	-1	-244	3.392	0.515	61.5	1.000
177	3.875	2.876	-1	-245	3.391	0.515	61.5	1.000
178	3.875	2.875	-1	-246	3.391	0.516	61.6	1.000
179	3.873	2.873	-2	-246	3.390	0.517	61.7	1.000
180	3.871	2.871	-2	-246	3.390	0.517	61.7	1.000
181	3.869	2.869	-2	-252	3.397	0.518	61.8	1.000
182	3.868	2.868	-2	-253	3.387	0.519	61.9	1.000
183	3.867	2.867	-2	-254	3.386	0.519	62	1.000
184	3.866	2.866	-2	-255	3.386	0.520	62	1.000
185	3.865	2.865	-2	-256	3.386	0.520	62	1.000
186	3.865	2.865	-2	-256	3.385	0.520	62	1.000
187	3.865	2.865	-2	-256	3.385	0.520	62	1.000
188	3.865	2.865	-2	-256	3.385	0.520	62	1.000
189	3.865	2.865	0	-256	3.385	0.520	62	1.000
190	3.865	2.865	0	-257	3.385	0.520	62	1.000
191	3.864	2.864	-1	-257	3.385	0.521	62.1	1.000
192	3.863	2.863	-1	-257	3.385	0.522	62.2	1.000
193	3.862	2.862	-1	-259	3.384	0.522	62.2	1.000
194	3.862	2.862	0	-259	3.384	0.522	62.2	1.000
195	3.862	2.862	0	-259	3.384	0.522	62.2	1.000
196	LIEUR HARI RAYA							1.000
197	LIEUR HARI RAYA							1.000
198	3.861	2.861	-1	-260	3.384	0.523	62.3	1.000
199	3.861	2.861	0	-260	3.384	0.523	62.3	1.000
200	3.860	2.860	-1	-261	3.384	0.524	62.4	1.000

201	3.859	2.858	-1	-262	3.384	0.626
202	3.858	2.858	-1	-263	3.384	0.626
203	3.857	2.857	-1	-264	3.384	0.627
204	3.855	2.855	-2	-265	3.381	0.626
205	3.854	2.854	-1	-267	3.381	0.627
206	3.854	2.854	0	-267	3.377	0.623
207	3.853	2.853	-1	-268	3.377	0.624
208	3.852	2.852	-1	-269	3.377	0.625
209	3.852	2.852	0	-269	3.377	0.625
210	3.852	2.852	0	-269	3.377	0.625
211	3.851	2.851	-1	-270	3.372	0.621
212	3.851	2.851	-1	-270	3.372	0.621
213	3.850	2.850	-1	-271	3.372	0.621
214	3.850	2.850	-1	-271	3.372	0.621
215	3.850	2.850	-1	-271	3.372	0.621
216	3.849	2.849	-1	-272	3.370	0.621
217	3.848	2.848	-1	-273	3.370	0.621
218	3.847	2.847	-1	-274	3.369	0.622
219	3.846	2.846	-1	-275	3.369	0.622
220	3.845	2.845	-1	-275	3.367	0.622
221	3.845	2.845	0	-276	3.367	0.622
222	3.844	2.844	-1	-277	3.365	0.622
223	3.844	2.844	0	-278	3.365	0.622
224	3.843	2.843	-1	-279	3.365	0.622
225	3.842	2.842	-1	-279	3.365	0.622
226	3.842	2.842	0	-279	3.365	0.622
227	3.842	2.842	0	-279	3.365	0.622
228	3.842	2.842	0	-279	3.365	0.622
229	3.842	2.842	0	-280	3.365	0.624
230	3.841	2.841	-1	-280	3.365	0.624
231	3.840	2.840	-1	-281	3.364	0.624

P E R I O D E

232	3.839	2.639	-1	-282	3.354	0.4216
233	3.838	2.638	-1	-283	3.362	0.424
234	3.838	2.638	0	-283	3.362	0.424
235	3.838	2.638	0	-283	3.362	0.424
236	3.837	2.637	-1	-284	3.361	0.424
237	3.836	2.636	-1	-285	3.361	0.424
238	3.834	2.634	2	-287	3.360	0.426
239	3.832	2.632	2	-289	3.358	0.426
240	3.831	2.631	-1	-291	3.358	0.427
241	3.830	2.630	-1	-291	3.358	0.427
242	3.830	2.630	0	-291	3.358	0.428
243	3.830	2.630	0	-291	3.358	0.428
244	3.830	2.630	0	-291	3.358	0.428
245	3.830	2.630	0	-291	3.358	0.428
246	3.830	2.630	0	-291	3.358	0.428
247	3.830	2.630	0	-291	3.358	0.428
248	3.830	2.630	0	-291	3.358	0.428
249	3.830	2.630	0	-291	3.358	0.428
250	3.828	2.628	0	-293	3.357	0.428
251	3.827	2.627	0	-294	3.357	0.428
252	3.826	2.626	0	-295	3.357	0.428
253	3.825	2.625	0	-296	3.354	0.428
254	3.825	2.625	0	-296	3.354	0.428
255	3.825	2.625	0	-296	3.354	0.428
256	3.825	2.625	0	-296	3.354	0.428
257	3.825	2.625	0	-296	3.354	0.428
258	3.824	2.624	1	-297	3.356	0.428
259	3.824	2.624	0	-297	3.356	0.428
260	3.824	2.624	0	-297	3.356	0.428
261	3.824	2.624	0	-297	3.356	0.428
262	3.824	2.624	0	-297	3.356	0.428
263	3.823	2.623	1	-298	3.349	0.428
264	3.823	2.623	0	-298	3.349	0.428
265	3.823	2.623	0	-298	3.349	0.428
266	3.823	2.623	0	-298	3.349	0.428
267	3.823	2.623	0	-298	3.349	0.428
268	3.823	2.623	0	-298	3.349	0.428
269	3.822	2.622	-1	-299	3.348	0.428

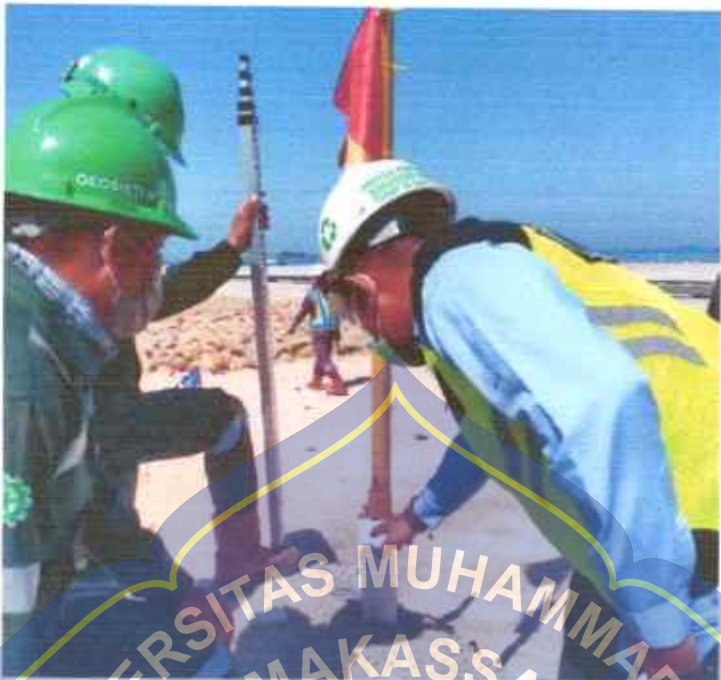




PVD (Prefabricated Vertical Drain)



Alat Settlement Plate



Pengukuran penurunan tanah dengan melakukan Auto Level



Pembacaan penurunan tanah